



Низкие динамические потери
 Малый заряд обратного восстановления
 Разветвленный управляющий электрод для
 высоких скоростей нарастания тока

Быстродействующий Импульсный Тиристор Тип ТБИ173-2000-12

Средний прямой ток	I_{TAV}	2000 А	
Повторяющееся импульсное напряжение в закрытом состоянии	U_{DRM}	1000 ÷ 1200 В	
Повторяющееся импульсное обратное напряжение	U_{RRM}		
Время выключения	t_q	10.0, 12.5, 16.0, 20.0 мкс	
$U_{DRM}, U_{RRM}, В$	1000	1100	1200
Класс по напряжению	10	11	12
$T_j, °C$	- 60 ÷ 125		

ПРЕДЕЛЬНО ДОПУСТИМЫЕ ЗНАЧЕНИЯ ПАРАМЕТРОВ

Обозначение и наименование параметра		Ед. изм.	Значение	Условия измерения
Параметры в проводящем состоянии				
I_{TAV}	Средний ток в открытом состоянии	А	2000 3390	$T_c=89 °C$; двухстороннее охлаждение; $T_c=55 °C$; двухстороннее охлаждение; 180 эл. град. синус; 50 Гц
I_{TRMS}	Действующий ток в открытом состоянии	А	3140	$T_c=89 °C$; двухстороннее охлаждение; 180 эл. град. синус; 50 Гц
I_{TSM}	Ударный ток в открытом состоянии	кА	48.5 56.0	$T_j=T_{jmax}$ $T_j=25 °C$ 180 эл. град. синус; $t_p=10$ мс; единичный импульс; $U_D=U_R=0$ В; Импульс управления: $I_G=I_{FGM}$; $U_G=20$ В; $t_{GP}=50$ мкс; $di_G/dt=1$ А/мкс
			51.0 59.0	$T_j=T_{jmax}$ $T_j=25 °C$ 180 эл. град. синус; $t_p=8.3$ мс; единичный импульс; $U_D=U_R=0$ В; Импульс управления: $I_G=I_{FGM}$; $U_G=20$ В; $t_{GP}=50$ мкс; $di_G/dt=1$ А/мкс
I^2t	Защитный фактор	$A^2c \cdot 10^3$	11700 15600	$T_j=T_{jmax}$ $T_j=25 °C$ 180 эл. град. синус; $t_p=10$ мс; единичный импульс; $U_D=U_R=0$ В; Импульс управления: $I_G=I_{FGM}$; $U_G=20$ В; $t_{GP}=50$ мкс; $di_G/dt=1$ А/мкс
			10700 14400	$T_j=T_{jmax}$ $T_j=25 °C$ 180 эл. град. синус; $t_p=8.3$ мс; единичный импульс; $U_D=U_R=0$ В; Импульс управления: $I_G=I_{FGM}$; $U_G=20$ В; $t_{GP}=50$ мкс; $di_G/dt=1$ А/мкс

Блокирующие параметры				
U_{DRM}, U_{RRM}	Повторяющееся импульсное обратное напряжение и повторяющееся импульсное напряжение в закрытом состоянии	В	1000÷1200	$T_{j\ min} < T_j < T_{j\ max};$ 180 эл. град. синус; 50 Гц; управление разомкнуто
U_{DSM}, U_{RSM}	Неповторяющееся импульсное обратное напряжение и неповторяющееся импульсное напряжение в закрытом состоянии	В	1100÷1300	$T_{j\ min} < T_j < T_{j\ max};$ 180 эл. град. синус; единичный импульс; управление разомкнуто
U_D, U_R	Постоянное обратное и постоянное прямое напряжение	В	$0.6 \cdot U_{DRM}$ $0.6 \cdot U_{RRM}$	$T_j = T_{j\ max};$ управление разомкнуто
Параметры управления				
I_{FGM}	Максимальный прямой ток управления	А	10	$T_j = T_{j\ max}$
U_{RGM}	Максимальное обратное напряжение управления	В	5	
P_G	Максимальная рассеиваемая мощность по управлению	Вт	8	$T_j = T_{j\ max}$ для постоянного тока управления
Параметры переключения				
$(di_T/dt)_{crit}$	Критическая скорость нарастания тока в открытом состоянии ($f=1\ Hz$)	А/мкс	2500	$T_j = T_{j\ max}; U_D = 0.67 \cdot U_{DRM};$ $I_{TM} = 2 I_{TAV};$ Импульс управления: $I_G = 2\ A; U_G = 20\ B;$ $t_{GP} = 50\ мкс; di_G/dt = 2\ A/мкс$
Тепловые параметры				
T_{stg}	Температура хранения	°С	- 60 ÷ 50	
T_j	Температура р-п перехода	°С	- 60 ÷ 125	
Механические параметры				
F	Монтажное усилие	кН	40.0÷50.0	
a	Ускорение	м/с ²	50 100	В не зажатом состоянии В зажатом состоянии

ХАРАКТЕРИСТИКИ

Обозначение и наименование характеристики		Ед. изм.	Значение	Условия измерения
Характеристики в проводящем состоянии				
U_{TM}	Импульсное напряжение в открытом состоянии, макс	В	1.55 2.15	$T_j = T_{j\ max}; I_{TM} = 4000\ A$ $T_j = 25\ ^\circ C; I_{TM} = 6280\ A$
$U_{T(TO)}$	Пороговое напряжение, макс	В	1.40	$T_j = T_{j\ max};$ $0.5 \pi I_{TAV} < I_T < 1.5 \pi I_{TAV}$
r_T	Динамическое сопротивление в открытом состоянии, макс	МОм	0.08	
I_H	Ток удержания, макс	мА	1000	$T_j = 25\ ^\circ C;$ $U_D = 12\ B;$ управление разомкнуто
Блокирующие характеристики				
I_{DRM}, I_{RRM}	Повторяющийся импульсный обратный ток и повторяющийся импульсный ток в закрытом состоянии, макс	мА	300	$T_j = T_{j\ max};$ $U_D = U_{DRM}; U_R = U_{RRM}$
$(du_D/dt)_{crit}$	Критическая скорость нарастания напряжения в закрытом состоянии ¹⁾	В/мкс	200, 320, 500, 1000	$T_j = T_{j\ max};$ $U_D = 0.67 \cdot U_{DRM};$ управление разомкнуто

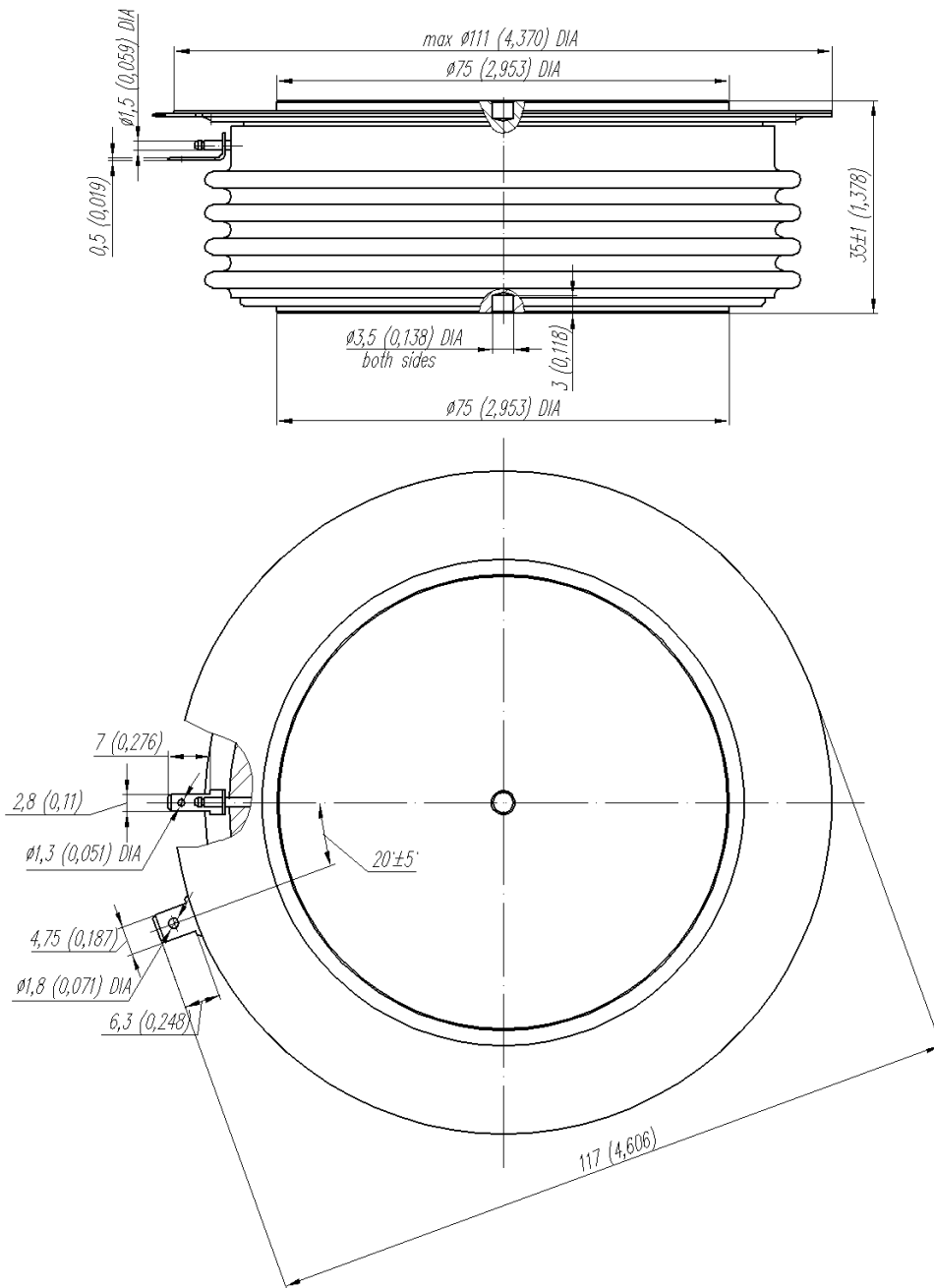
Характеристики управления					
U_{GT}	Отпирающее постоянное напряжение управления, макс	В	5.00 3.00 2.00	$T_j = T_{j \min}$ $T_j = 25 \text{ }^\circ\text{C}$ $T_j = T_{j \max}$	$U_D = 12 \text{ В}; I_D = 3 \text{ А};$ Постоянный ток управления
I_{GT}	Отпирающий постоянный ток управления, макс	мА	500 300 200	$T_j = T_{j \min}$ $T_j = 25 \text{ }^\circ\text{C}$ $T_j = T_{j \max}$	
U_{GD}	Неотпирающее постоянное напряжение управления, мин	В	0.35	$T_j = T_{j \max};$ $U_D = 0.67 \cdot U_{DRM};$	Постоянный ток управления
I_{GD}	Неотпирающий постоянный ток управления, мин	мА	15.00		

Динамические характеристики					
t_{gd}	Время задержки включения, макс	мкс	0.78	$T_j = 25 \text{ }^\circ\text{C}; U_D = 600 \text{ В}; I_{TM} = I_{TAV};$ $di/dt = 200 \text{ А/мкс};$	
t_{gt}	Время включения ²⁾	мкс	1.60, 2.00, 2.50, 3.20	Импульс управления: $I_G = 2 \text{ А}; U_G = 20 \text{ В};$ $t_{GP} = 50 \text{ мкс}; di_G/dt = 2 \text{ А/мкс}$	
t_q	Время выключения ³⁾	мкс	10.0, 12.5, 16.0, 20.0	$du_D/dt = 50 \text{ В/мкс};$	$T_j = T_{j \max}; I_{TM} = I_{TAV};$ $di_R/dt = -10 \text{ А/мкс};$ $U_R = 100 \text{ В};$ $U_D = 0.67 U_{DRM}$
			12.5, 16.0, 20.0, 25.0	$du_D/dt = 200 \text{ В/мкс};$	
Q_{rr}	Заряд обратного восстановления, макс	мкКл	220	$T_j = T_{j \max}; I_{TM} = I_{TAV};$ $di_R/dt = -50 \text{ А/мкс};$ $U_R = 100 \text{ В}$	
t_{rr}	Время обратного восстановления, макс	мкс	3.8		
I_{rrM}	Ток обратного восстановления, макс	А	115		

Тепловые характеристики					
R_{thjc}	Тепловое сопротивление р-п переход-корпус, макс	$^\circ\text{C/Вт}$	0.0100	Постоянный ток	Двухстороннее охлаждение
R_{thjc-A}			0.0220		Охлаждение со стороны анода
R_{thjc-K}			0.0180		Охлаждение со стороны катода
R_{thck}	Тепловое сопротивление корпус-охладитель, макс	$^\circ\text{C/Вт}$	0.0020	Постоянный ток	

Механические характеристики					
w	Масса, тип	г	1600		
D_s	Длина пути тока утечки по поверхности	мм (дюйм)	55.13 (2.170)		
D_a	Длина пути тока утечки по воздуху	мм (дюйм)	25.10 (0.988)		

МАРКИРОВКА								ПРИМЕЧАНИЕ												
ТБИ	173	2000	12	A2	A4	A4	УХЛ2	1) Критическая скорость нарастания напряжения в закрытом состоянии												
1	2	3	4	5	6	7	8													
1. Быстродействующий импульсный тиристор								Обозначение группы					P2	K2	E2	A2				
2. Конструктивное исполнение								$(du_D/dt)_{crit}, \text{ В/мкс}$					200	320	500	1000				
3. Средний ток в открытом состоянии, А								2) Время включения					Обозначение группы				T4	P4	M4	K4
4. Класс по напряжению													$t_{gt}, \text{ мкс}$				1.60	2.00	2.50	3.20
5. Критическая скорость нарастания напряжения в закрытом состоянии								3) Время выключения ($du_D/dt = 50 \text{ В/мкс}$)					Обозначение группы				A4	X3	T3	P3
6. Группа по времени выключения ($du_D/dt = 50 \text{ В/мкс}$)													$t_q, \text{ мкс}$				10.0	12.5	16.0	20.0
7. Группа по времени включения																				
8. Климатическое исполнение по ГОСТ 15150: УХЛ2, Т2																				



Все размеры в миллиметрах (дюймах)

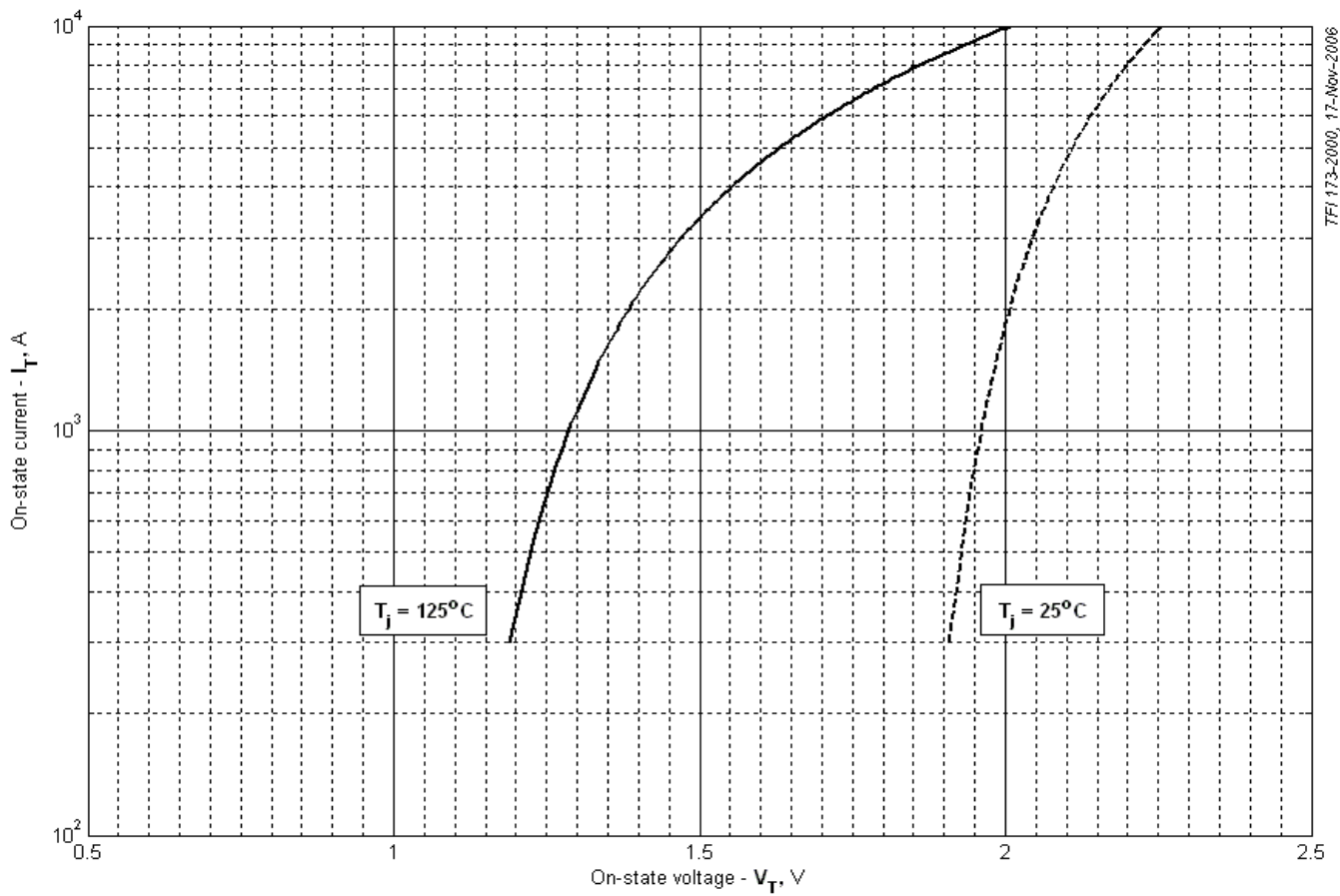


Рис. 1 – Вольт – амперная характеристика в открытом состоянии

Аналитическая функция вольт – амперной характеристики в открытом состоянии:

$$V_T = A + B \cdot i_T + C \cdot \ln(i_T + 1) + D \cdot \sqrt{i_T}$$

	Коэффициенты для графика	
	$T_j = 25^\circ\text{C}$	$T_j = T_{j\text{max}}$
A	1.886396	1.150214
B	0.019465	0.062607
C	0.018317	0.024464
D	0.041506	0.055434

Модель вольт – амперной характеристики в открытом состоянии (см. Рис. 1)

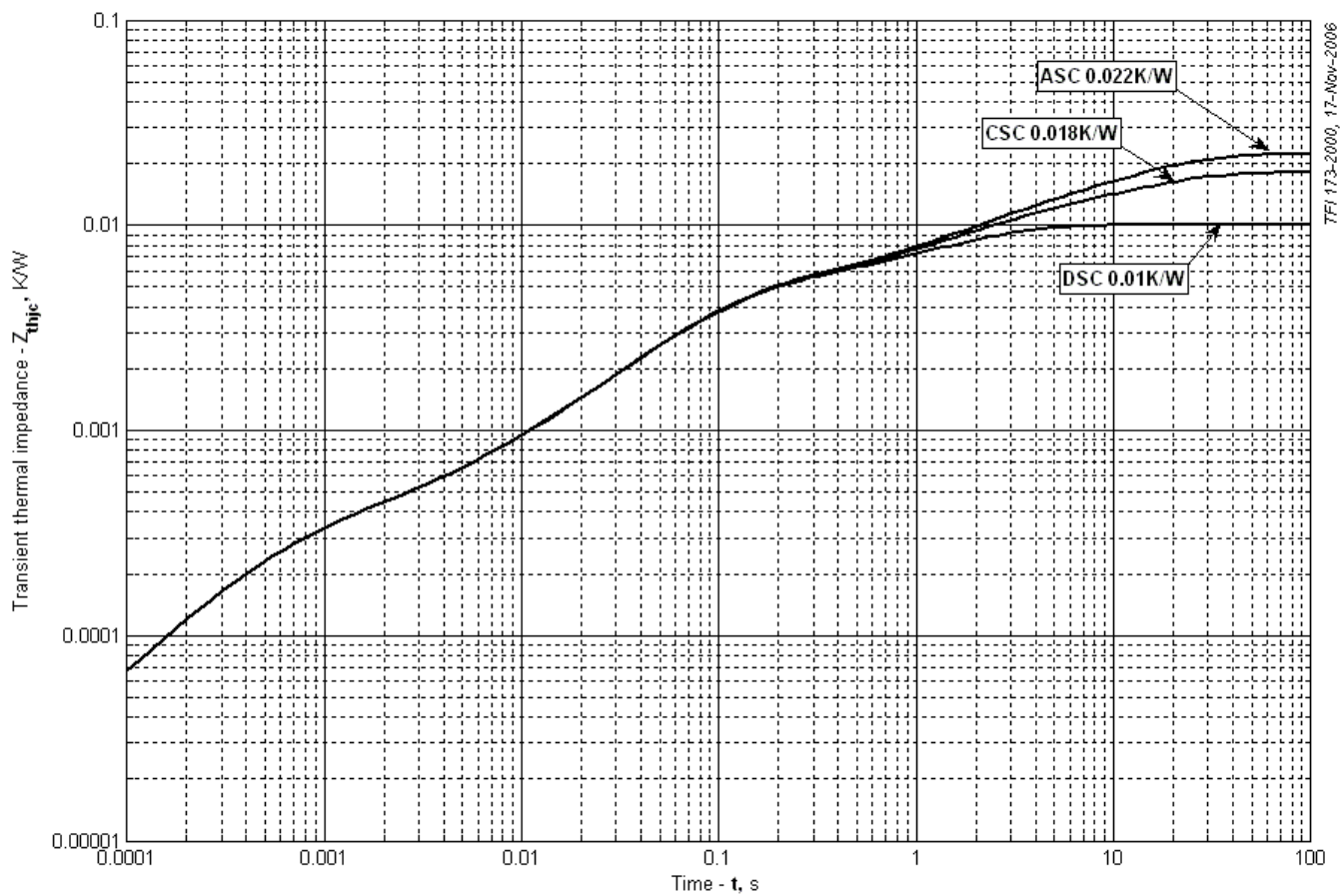


Рис. 2 – Переходное тепловое сопротивление

Аналитическая зависимость переходного теплового сопротивления переход — корпус:

$$Z_{thjc} = \sum_{i=1}^n R_i \left(1 - e^{-\frac{t}{\tau_i}} \right)$$

Где $i = 1$ to n , n – число суммирующихся элементов.

t = продолжительность импульсного нагрева в секундах.

Z_{thjc} = Тепловое сопротивление за время t .

R_i, τ_i = расчетные коэффициенты, приведенные в таблице.

Постоянный ток, двустороннее охлаждение

i	1	2	3	4	5	6
$R_i, K/W$	0.003054	0.003837	0.0001485	0.0006018	0.0002764	0.002082
τ_i, s	2.028	0.7732	0.003752	0.1565	0.0004466	1.159

Постоянный ток, охлаждение со стороны катода

i	1	2	3	4	5	6
$R_i, K/W$	0.008203	0.004721	0.0005511	0.004149	0.0001517	0.0002765
τ_i, s	13.270	1.846	0.3452	0.08009	0.003842	0.0004459

Постоянный ток, охлаждение со стороны анода

i	1	2	3	4	5	6
$R_i, K/W$	0.01242	0.004757	0.0005342	0.004113	0.0001512	0.0002756
τ_i, s	13.320	1.920	0.3056	0.07985	0.003773	0.0004446

Модель переходного теплового сопротивления переход - корпус (см. Рис. 2)

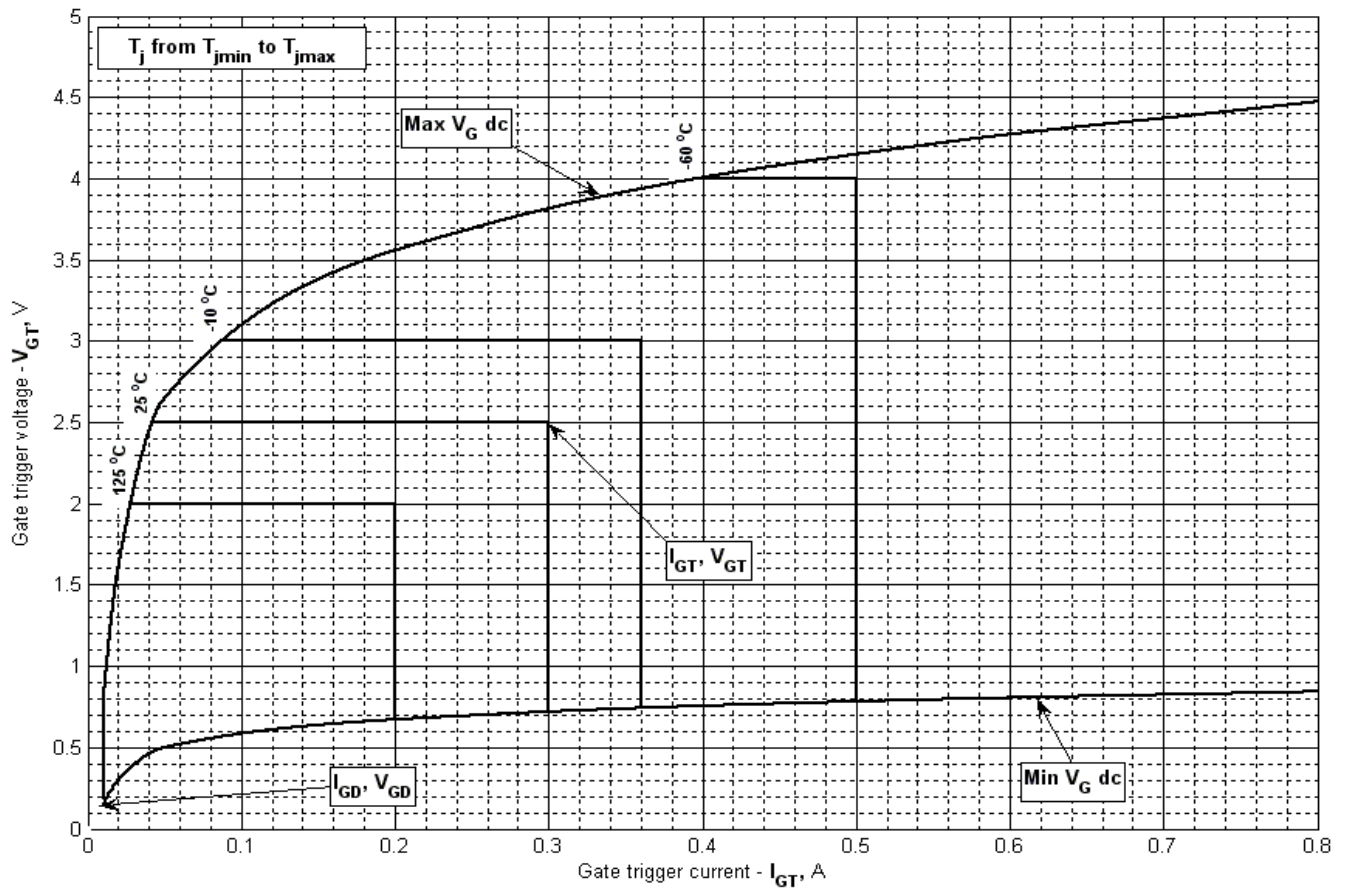


Рис. 3 - Вольт — амперная характеристика цепи управления

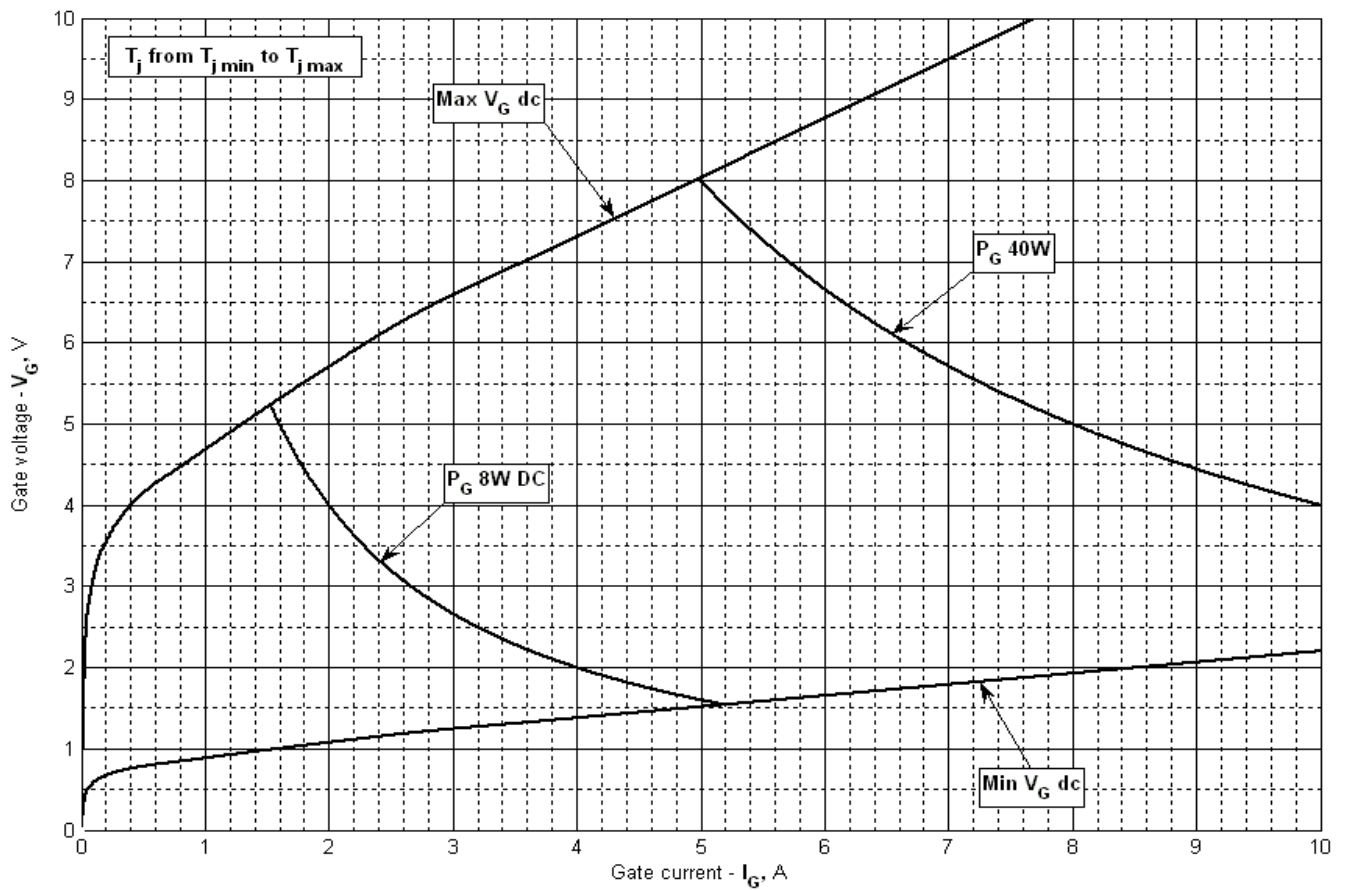


Рис. 4 - Вольт — амперная характеристика цепи управления — кривые мощности

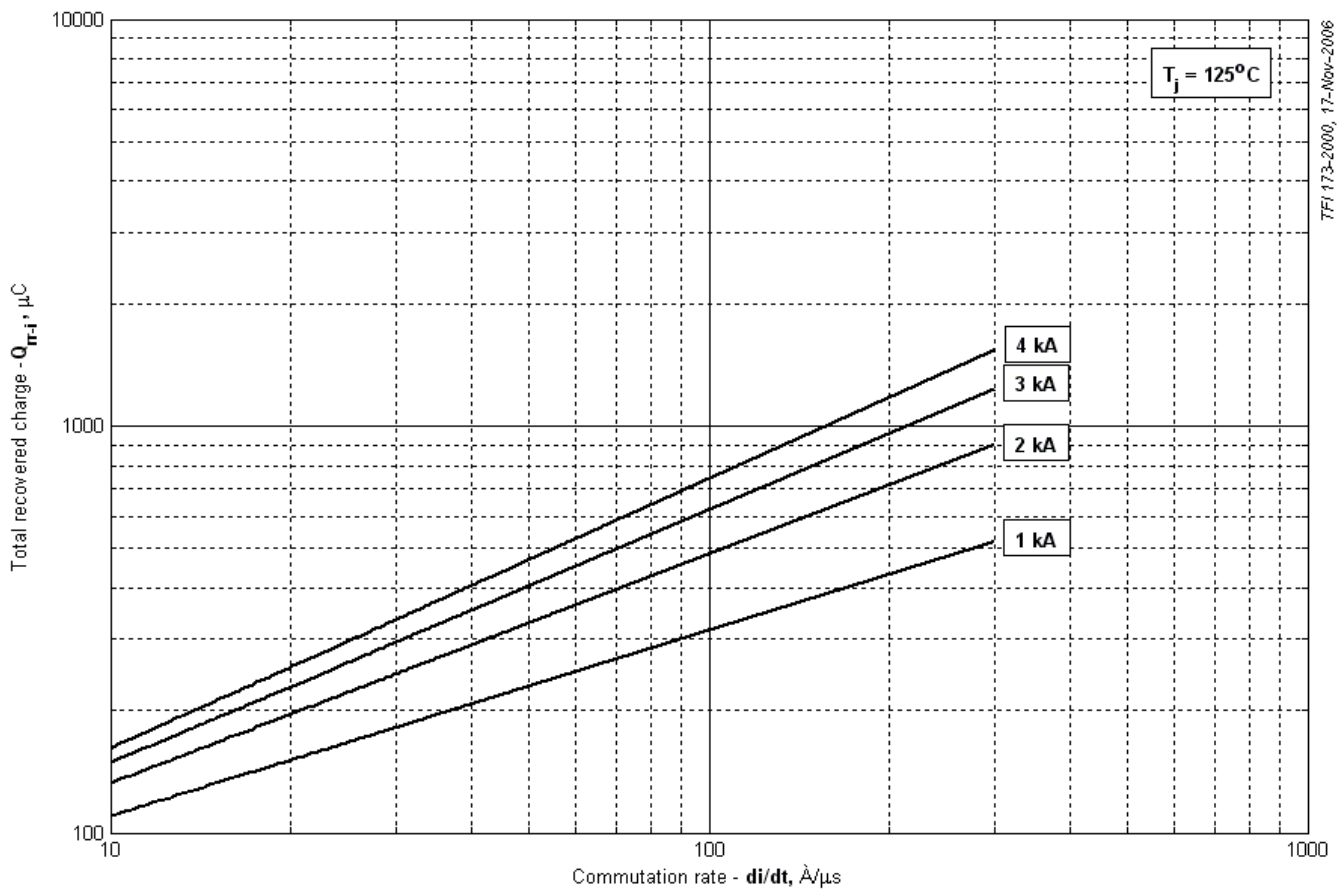


Рис. 5 – Максимальный интегральный заряд обратного восстановления, Q_{rr-i}

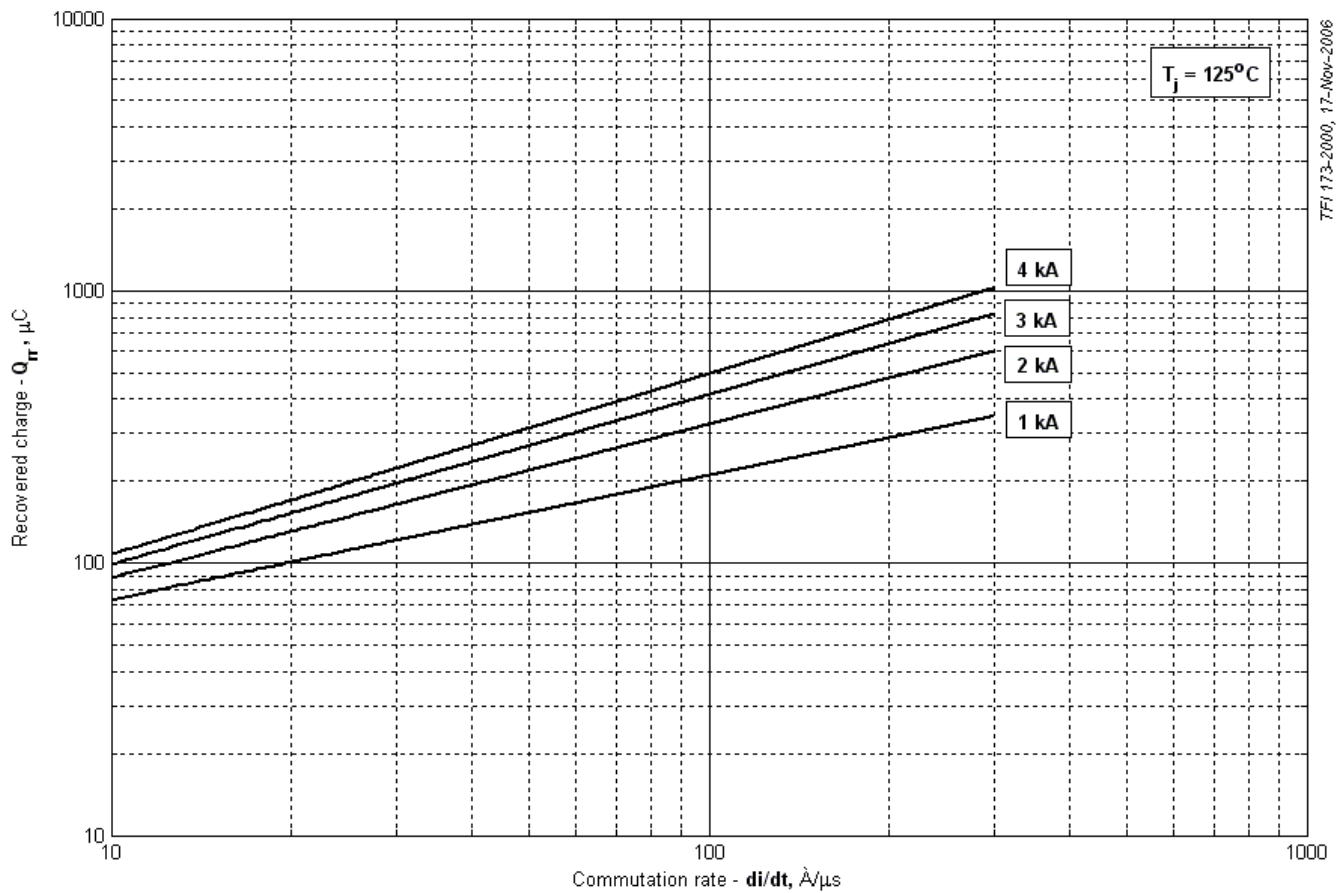


Рис. 6 – Максимальный заряд обратного восстановления, Q_{rr} (по ГОСТ 24461, хорда 25%)

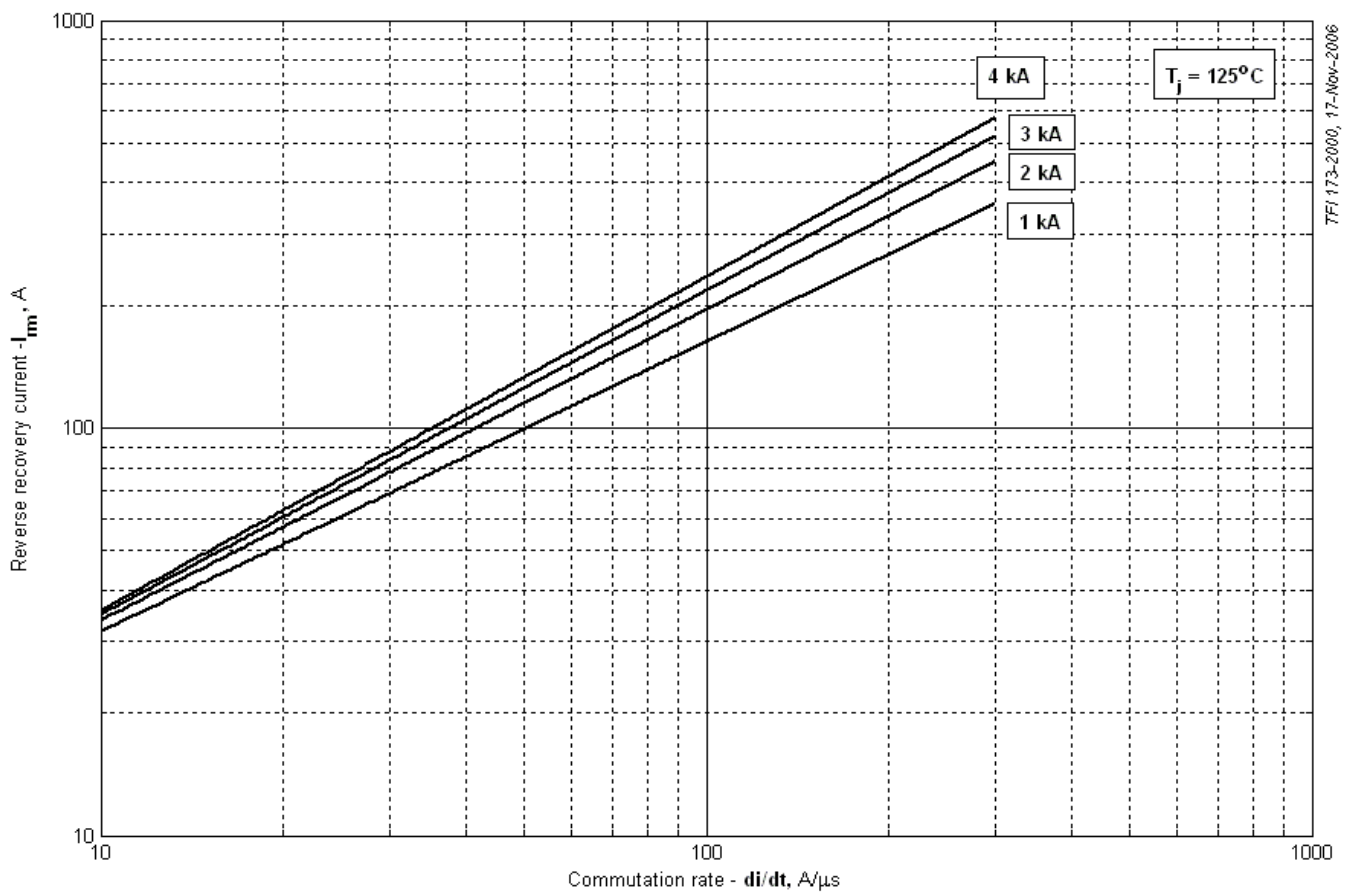


Рис. 7 – Максимальный ток обратного восстановления, I_{rm}

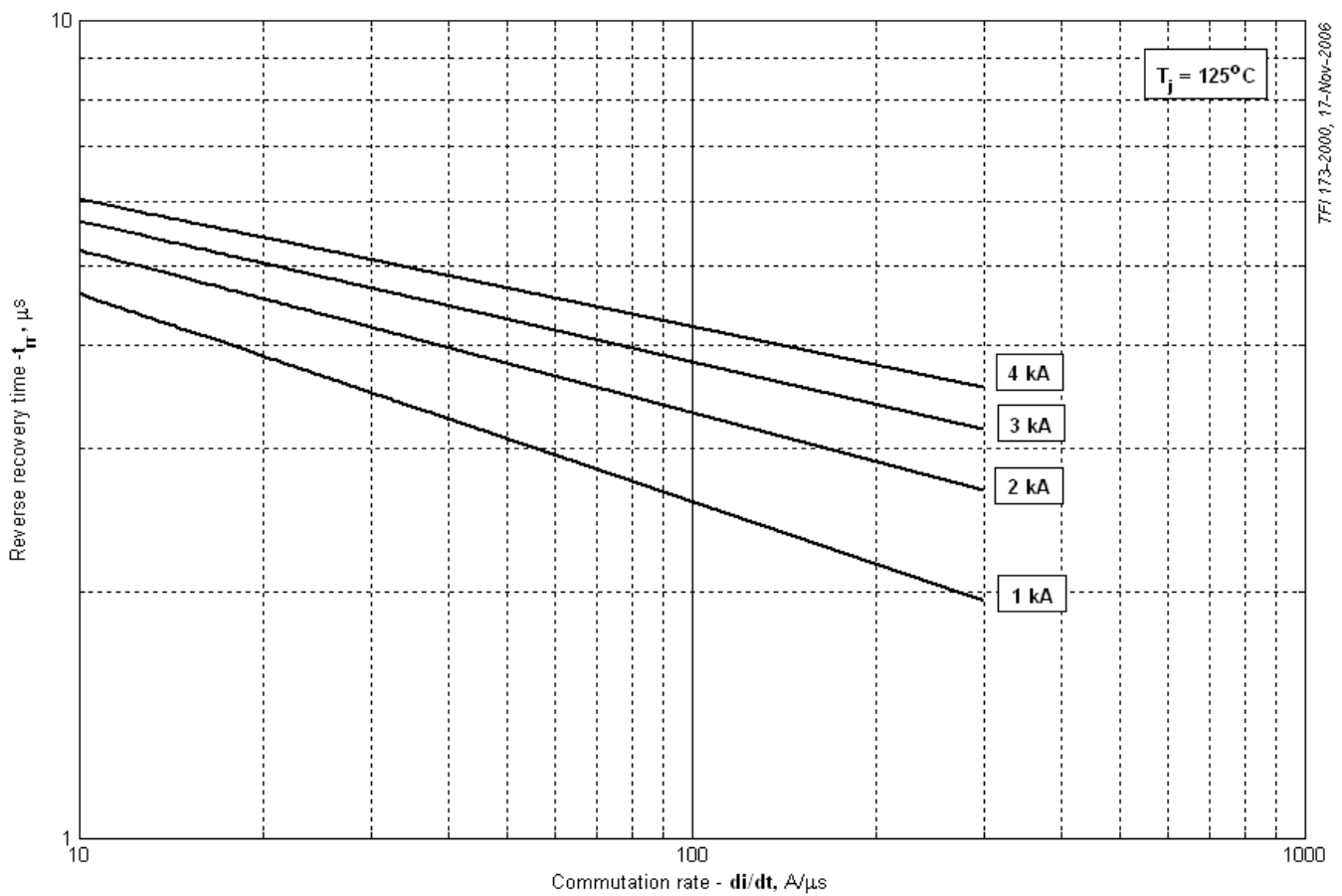


Рис. 8 – Максимальное время обратного восстановления, t_r (по ГОСТ 24461, хорда 25%)

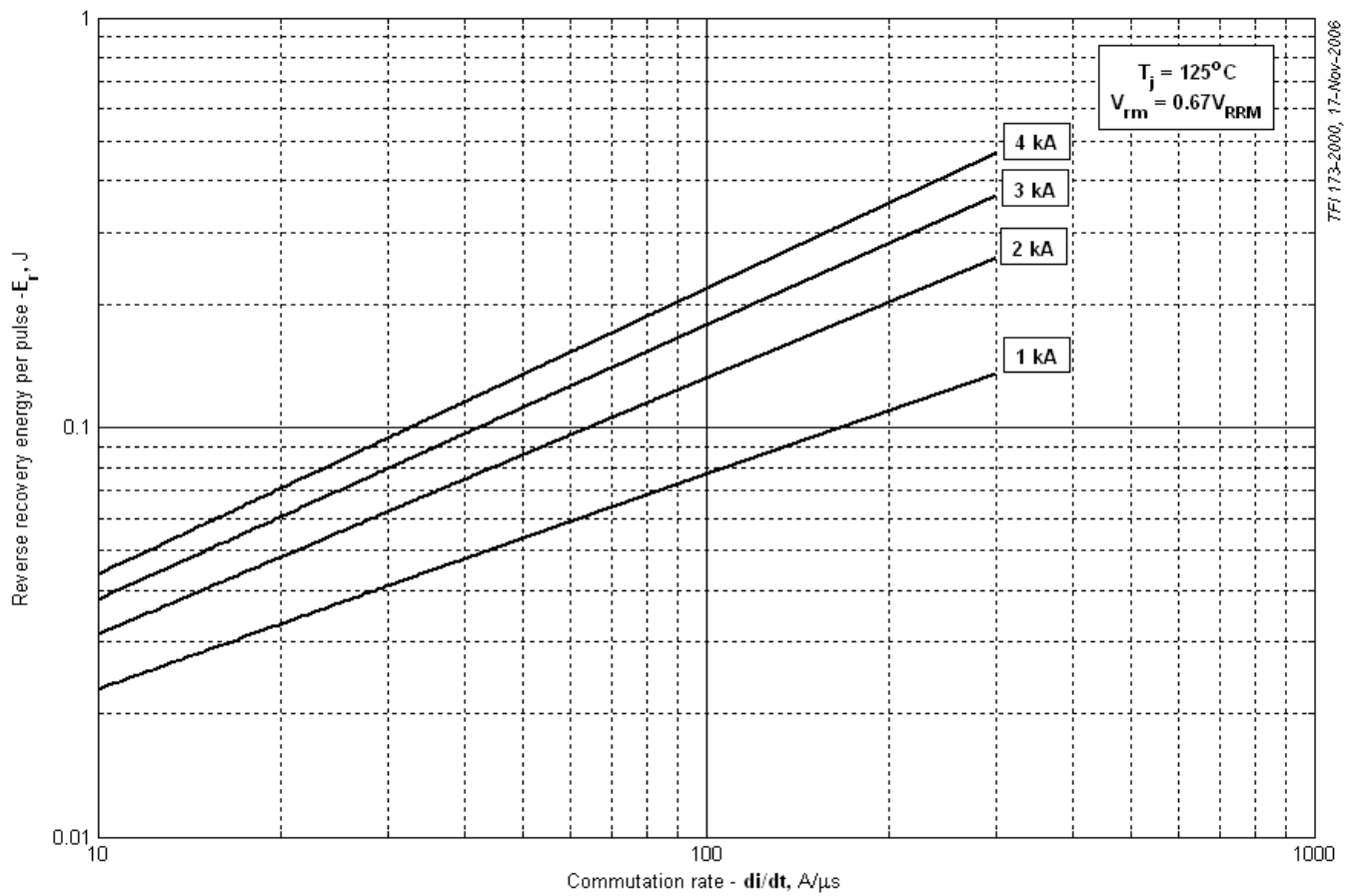


Рис. 9 – Энергия обратного восстановления за импульс

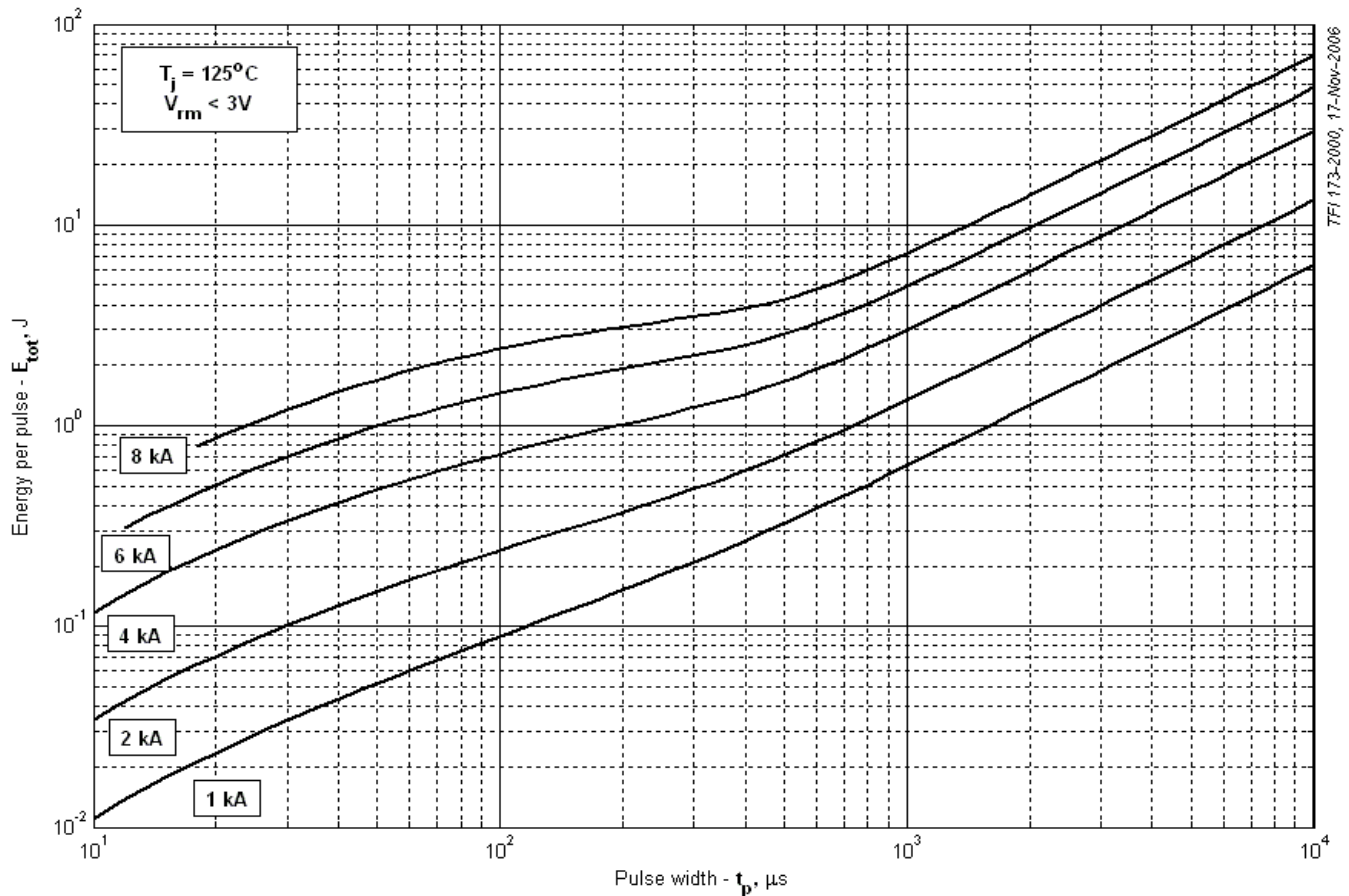


Рис. 10 – Суммарная энергия потерь одного синусоидального импульса тока

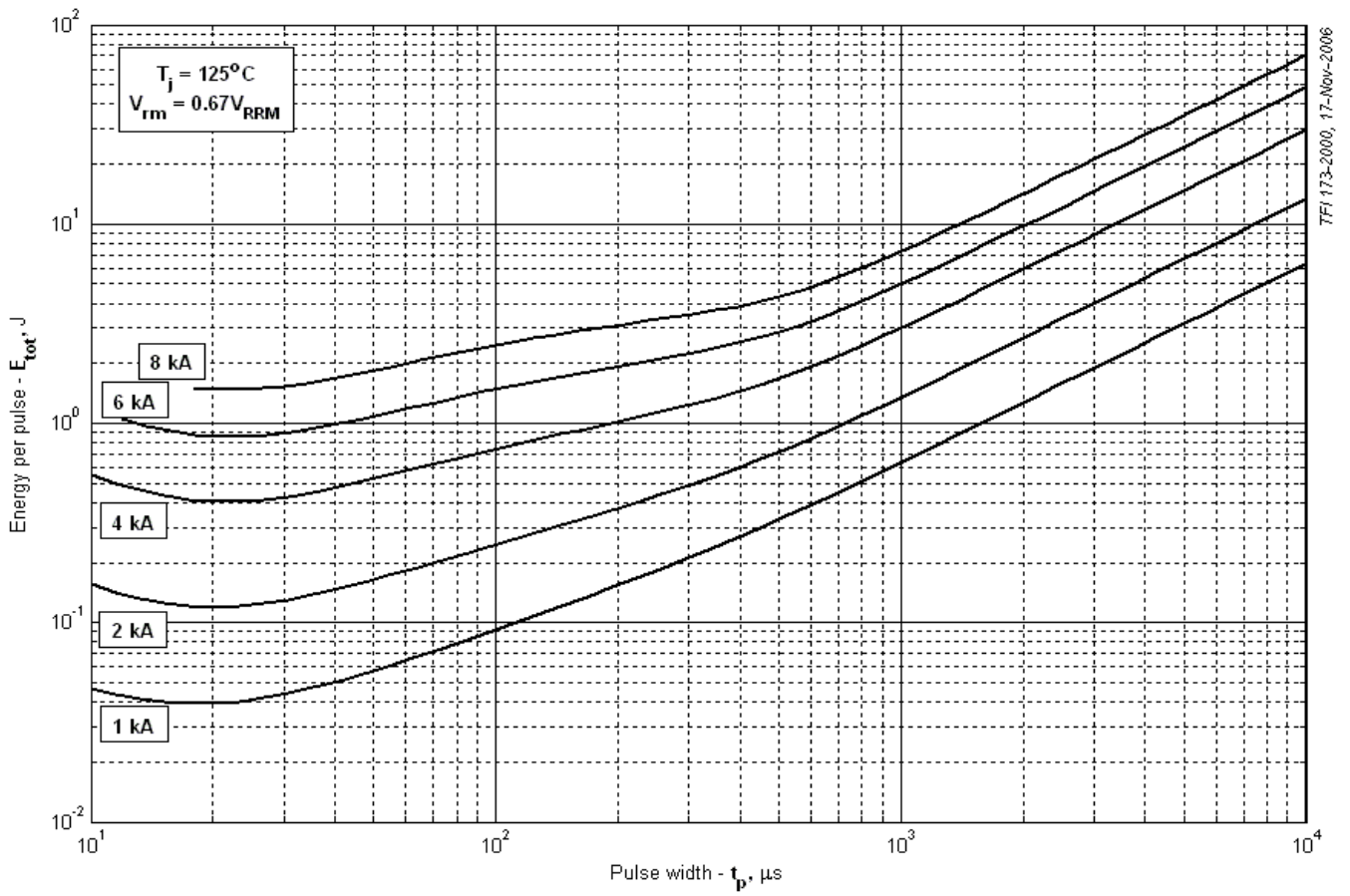


Рис. 11 – Суммарная энергия потерь одного синусоидального импульса тока

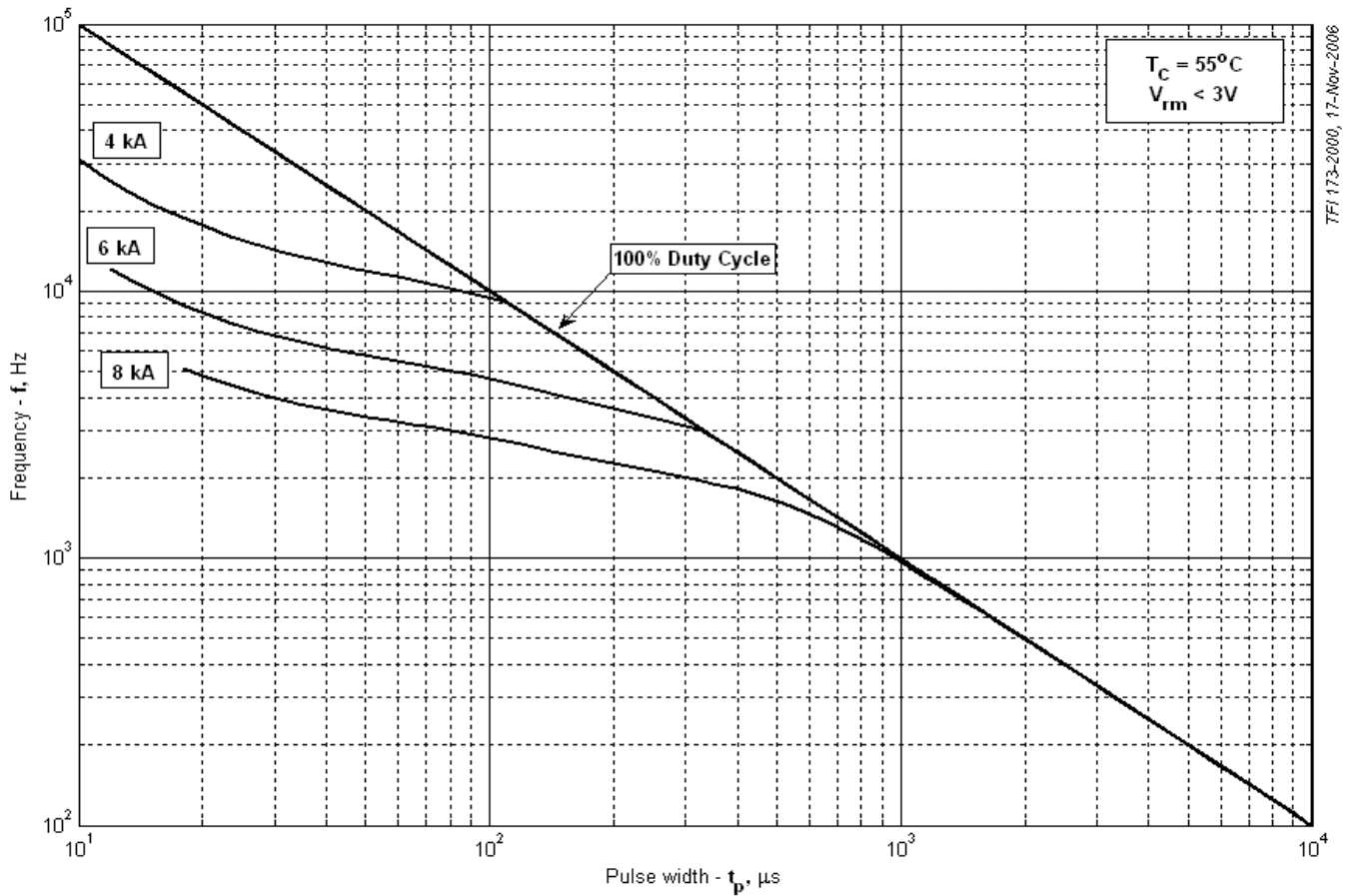
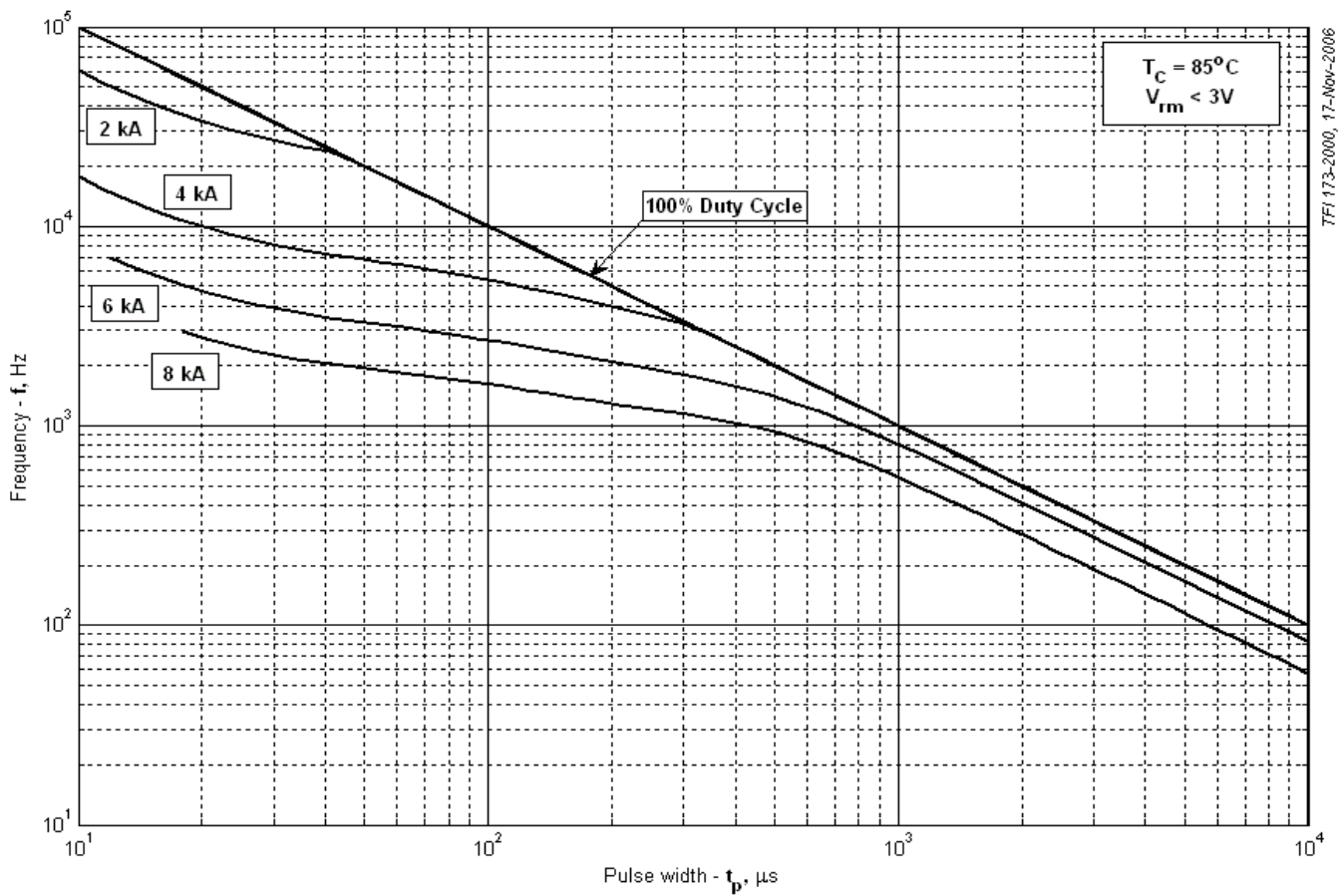
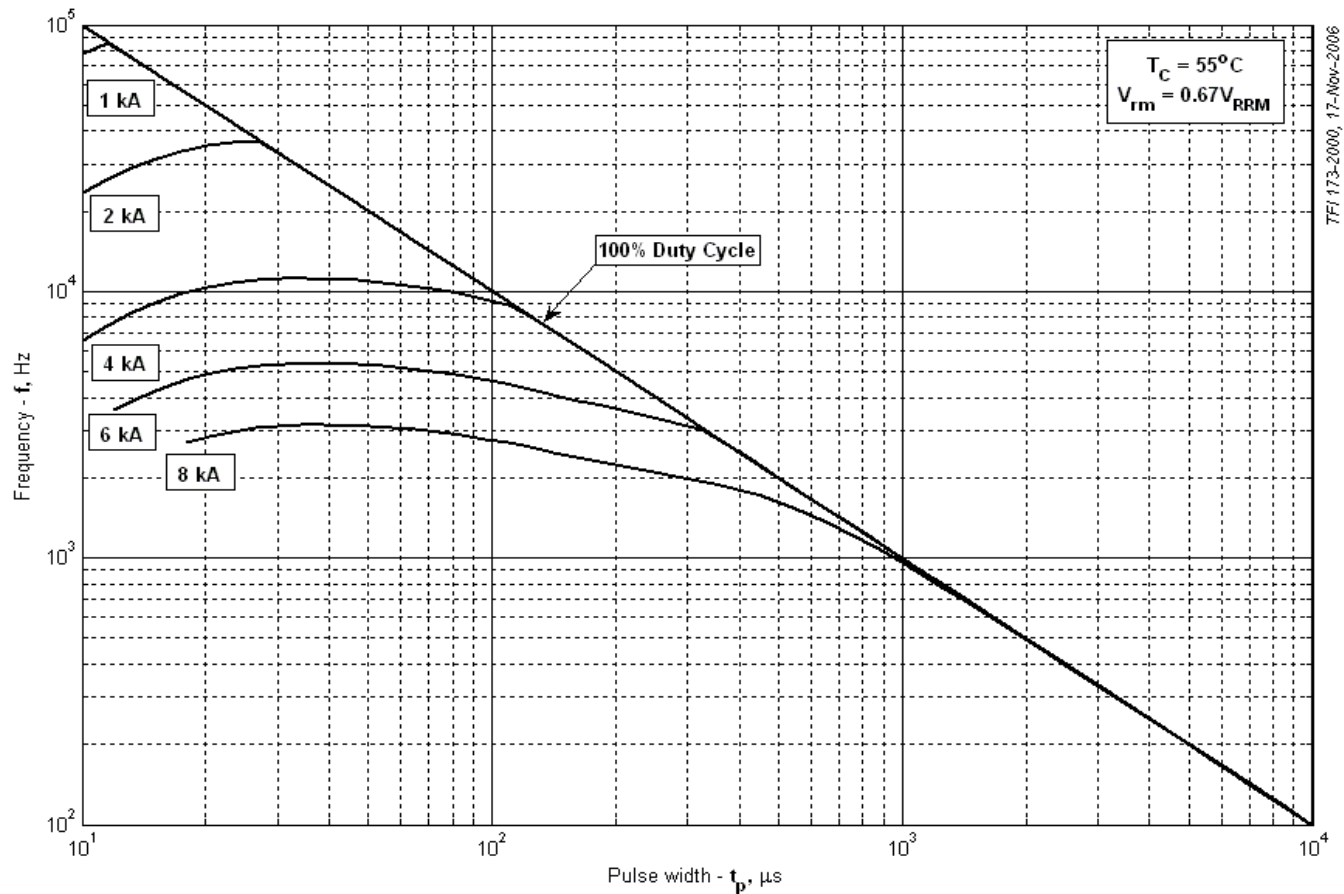


Рис. 12 – Зависимость частоты синусоидальных импульсов тока от длительности импульсов



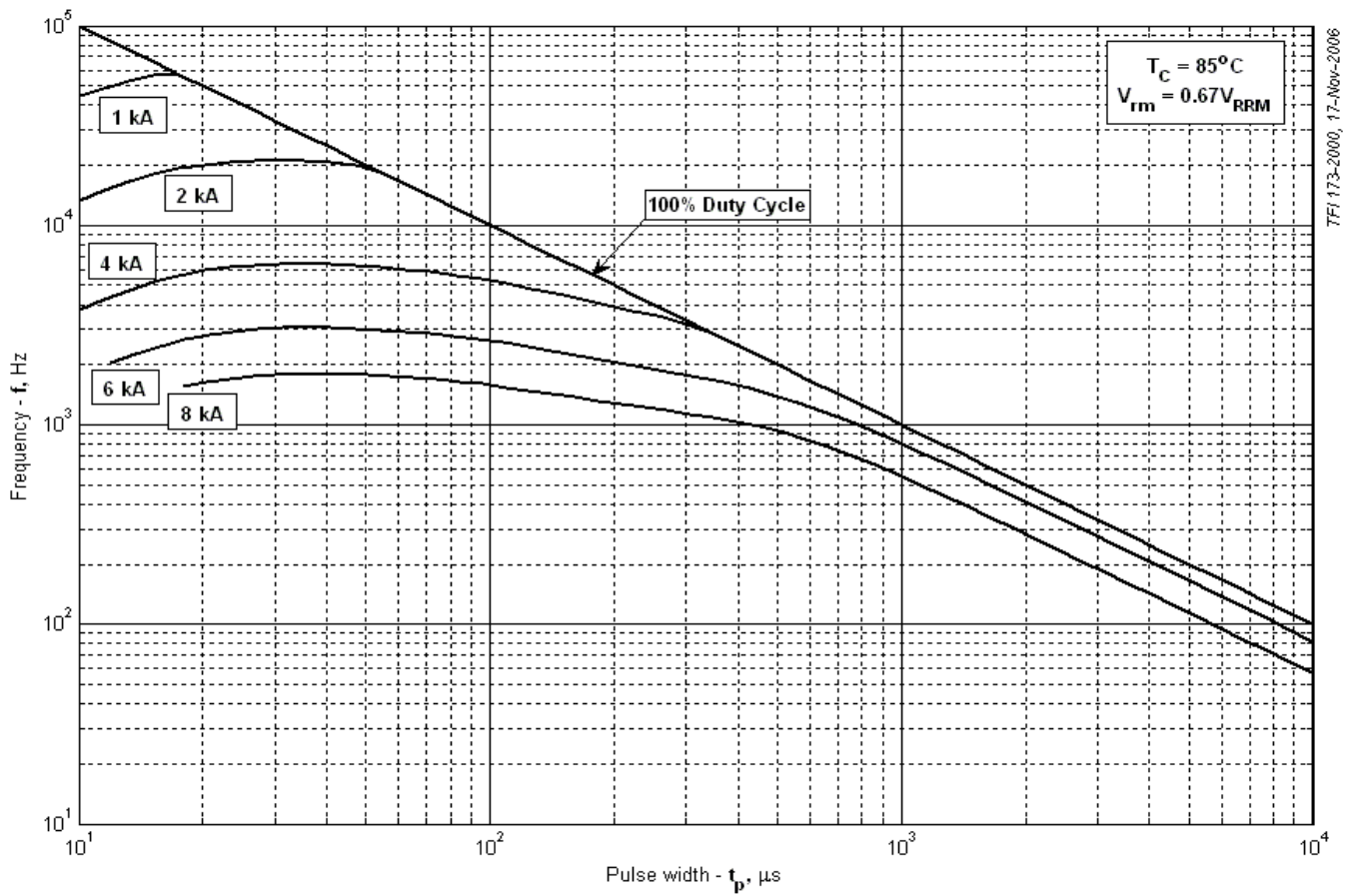
TFI 173-2000, 17-Nov-2006

Рис. 13 – Зависимость частоты синусоидальных импульсов тока от длительности импульсов



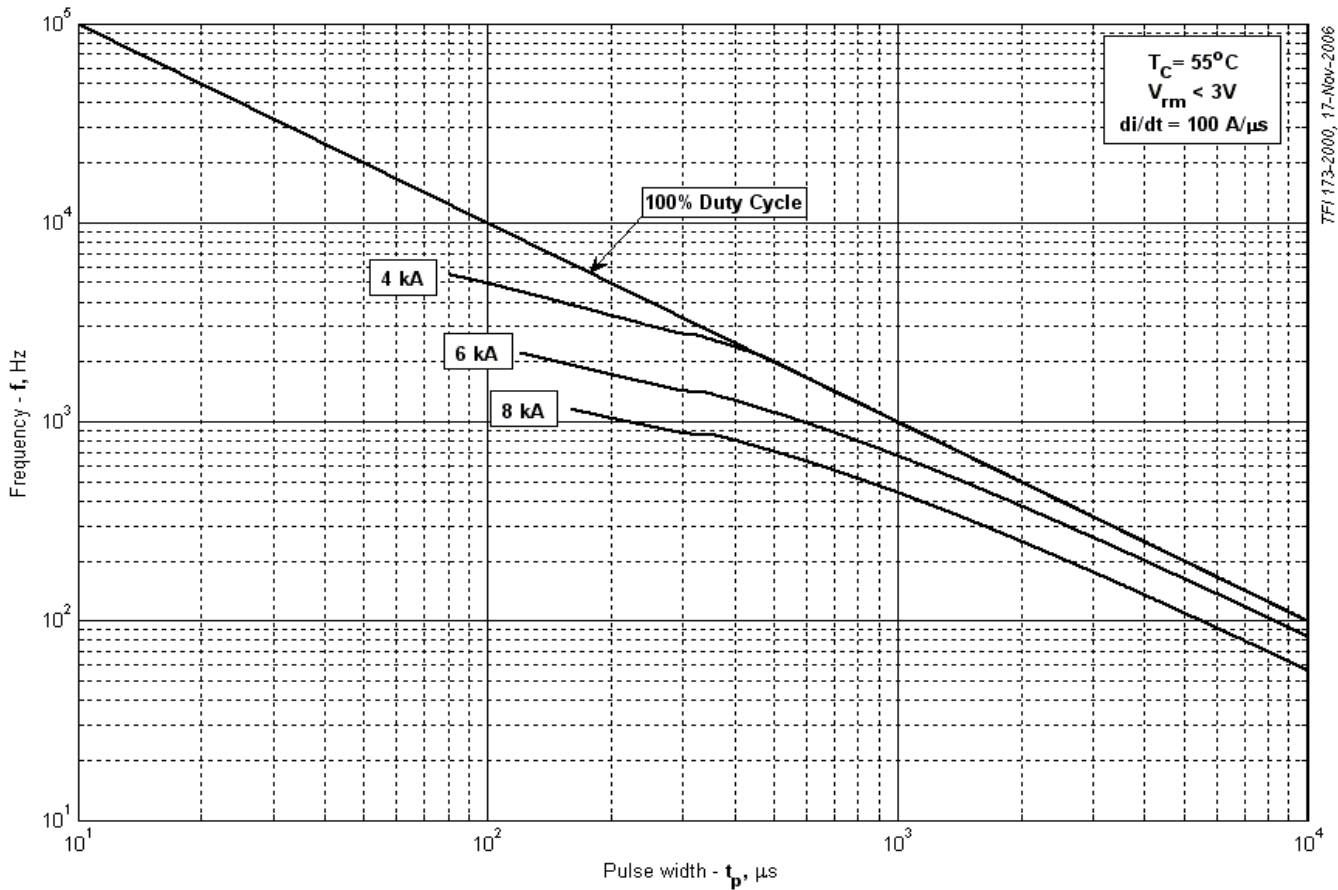
TFI 173-2000, 17-Nov-2006

Рис. 14 – Зависимость частоты синусоидальных импульсов тока от длительности импульсов



TFI 173-2000, 17-Nov-2006

Рис. 15 – Зависимость частоты синусоидальных импульсов тока от длительности импульсов



TFI 173-2000, 17-Nov-2006

Рис. 16 – Зависимость частоты прямоугольных импульсов тока от длительности импульсов

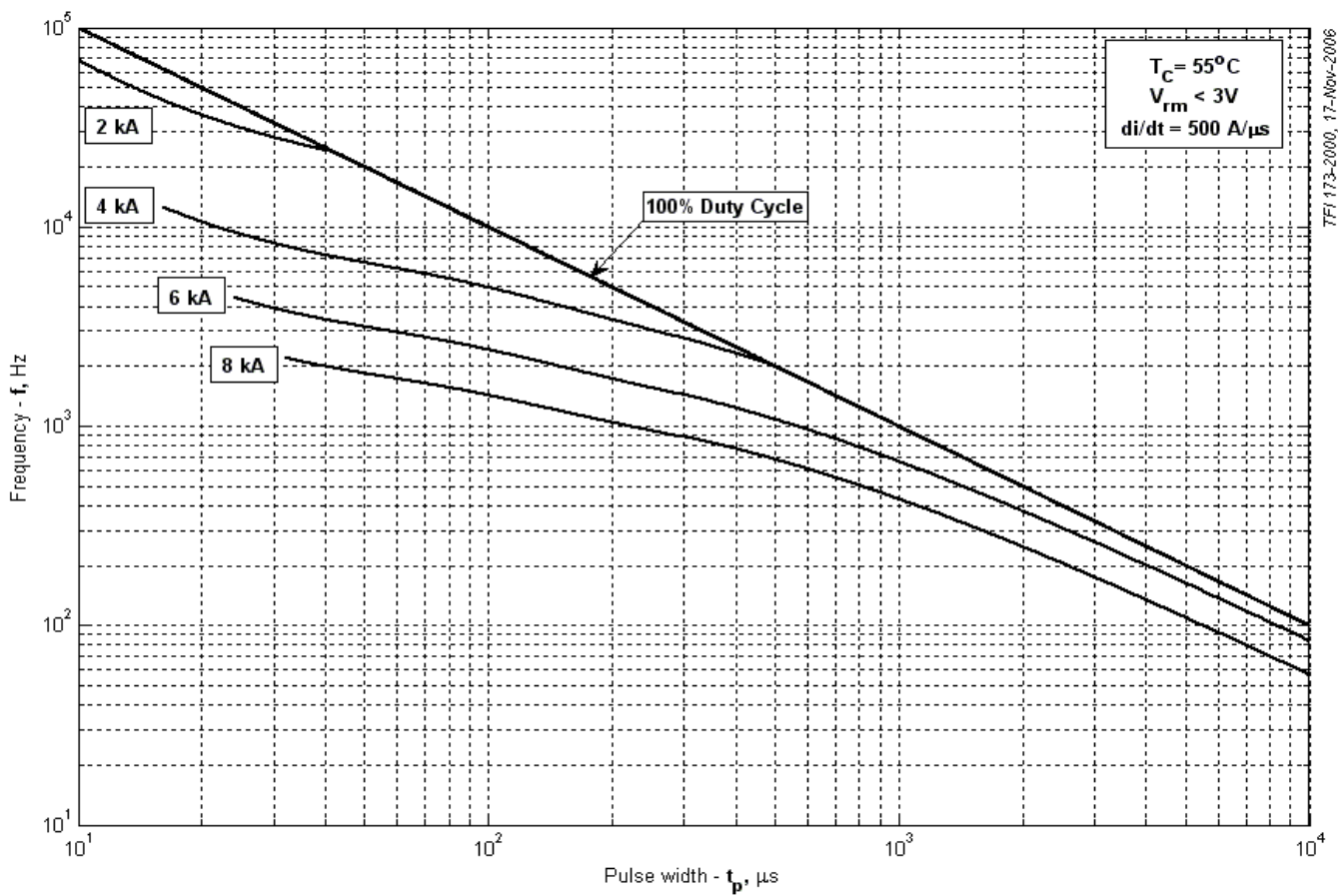


Рис. 17– Зависимость частоты прямоугольных импульсов тока от длительности импульсов

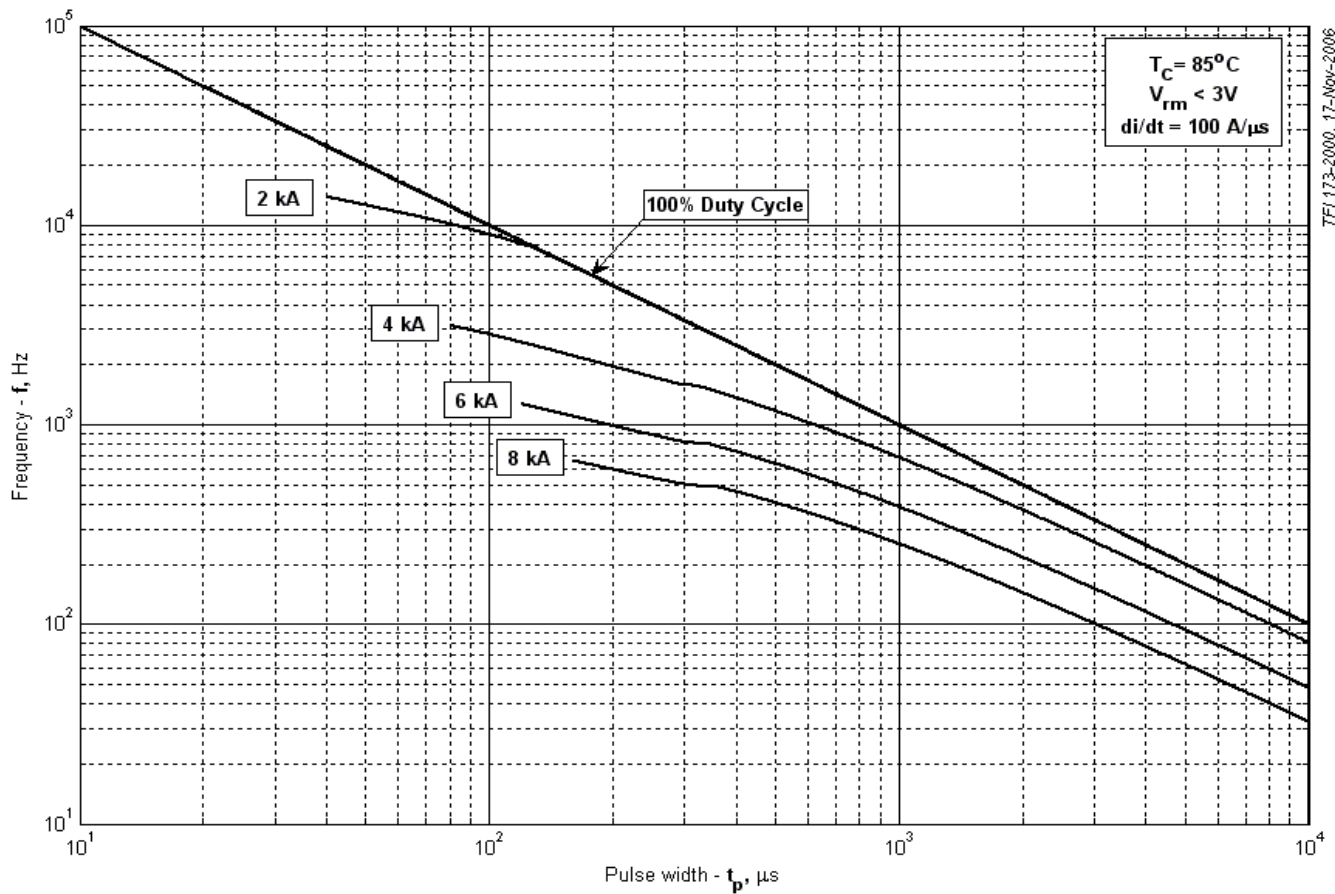


Рис. 18 – Зависимость частоты прямоугольных импульсов тока от длительности импульсов

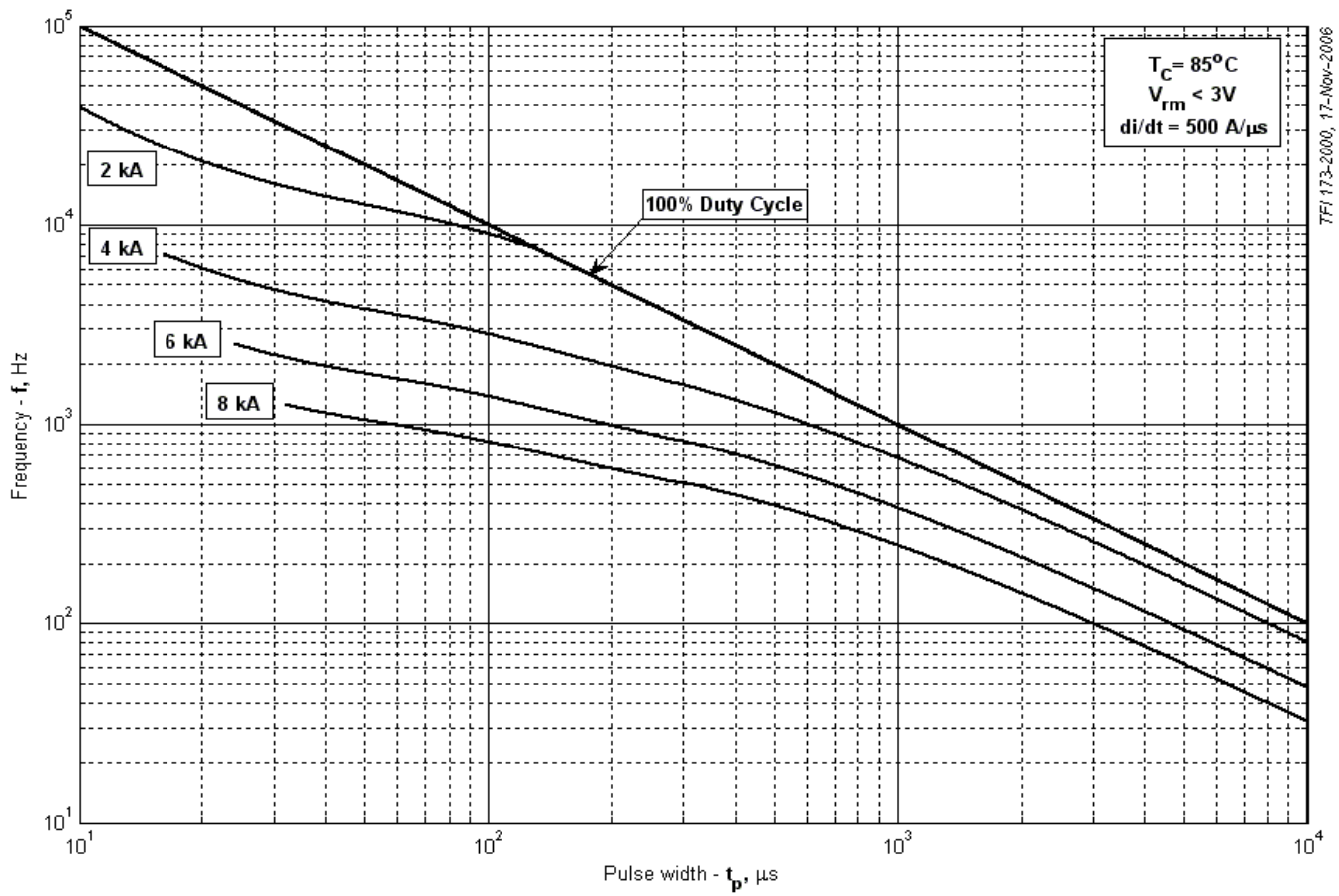


Рис. 19 – Зависимость частоты прямоугольных импульсов тока от длительности импульсов

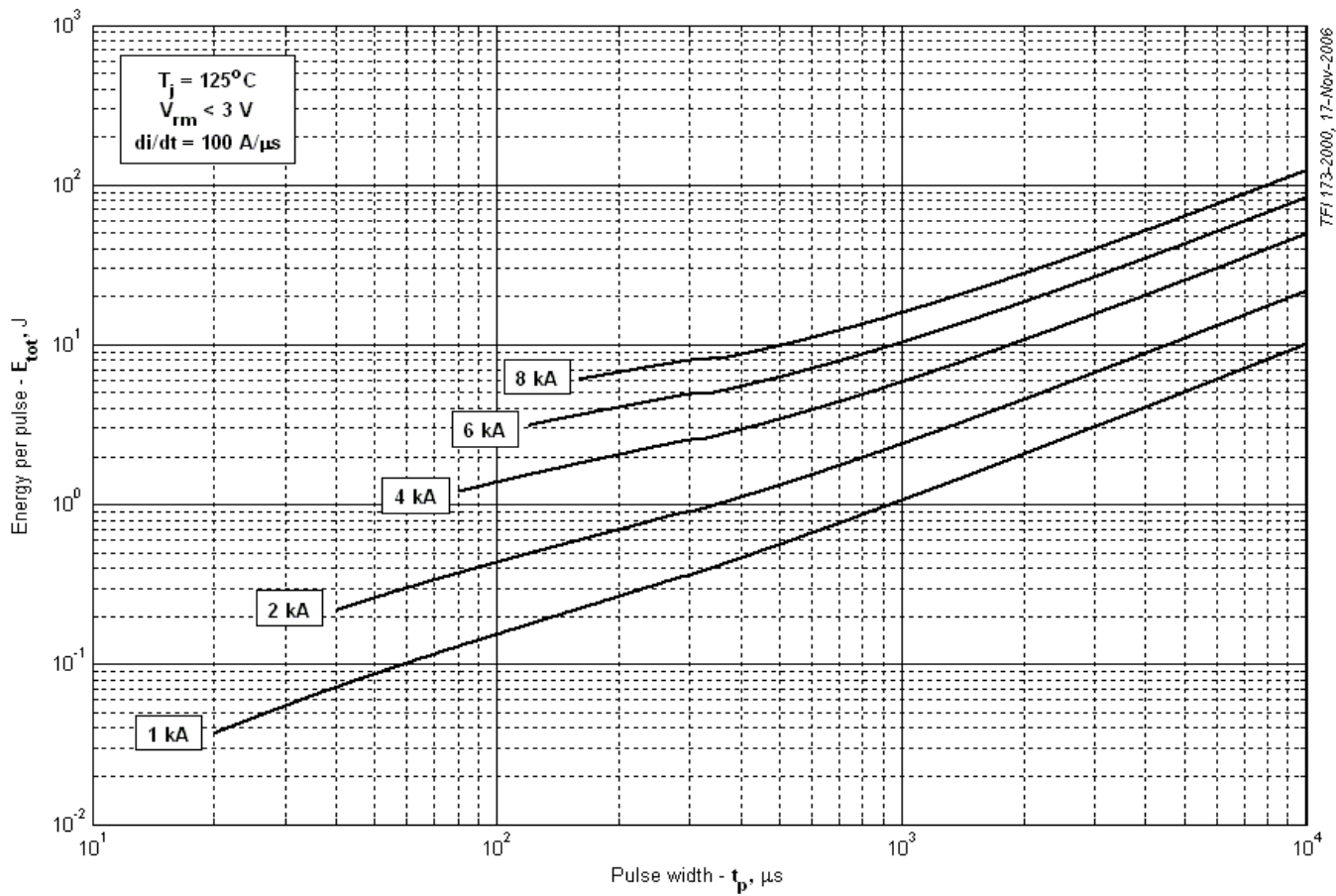


Рис. 20 – Суммарная энергия потерь одного прямоугольного импульса тока

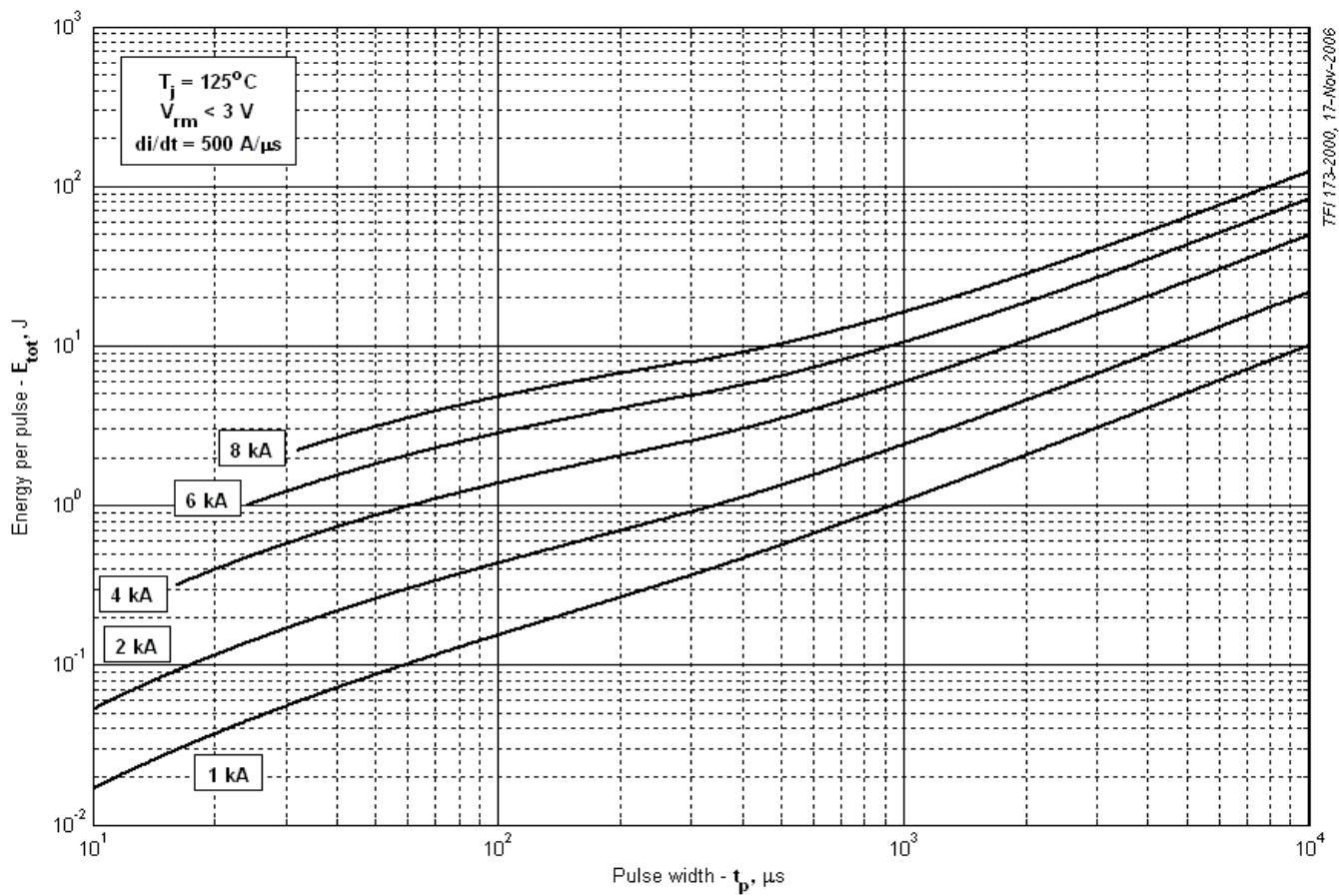


Рис. 21 – Суммарная энергия потерь одного прямоугольного импульса тока

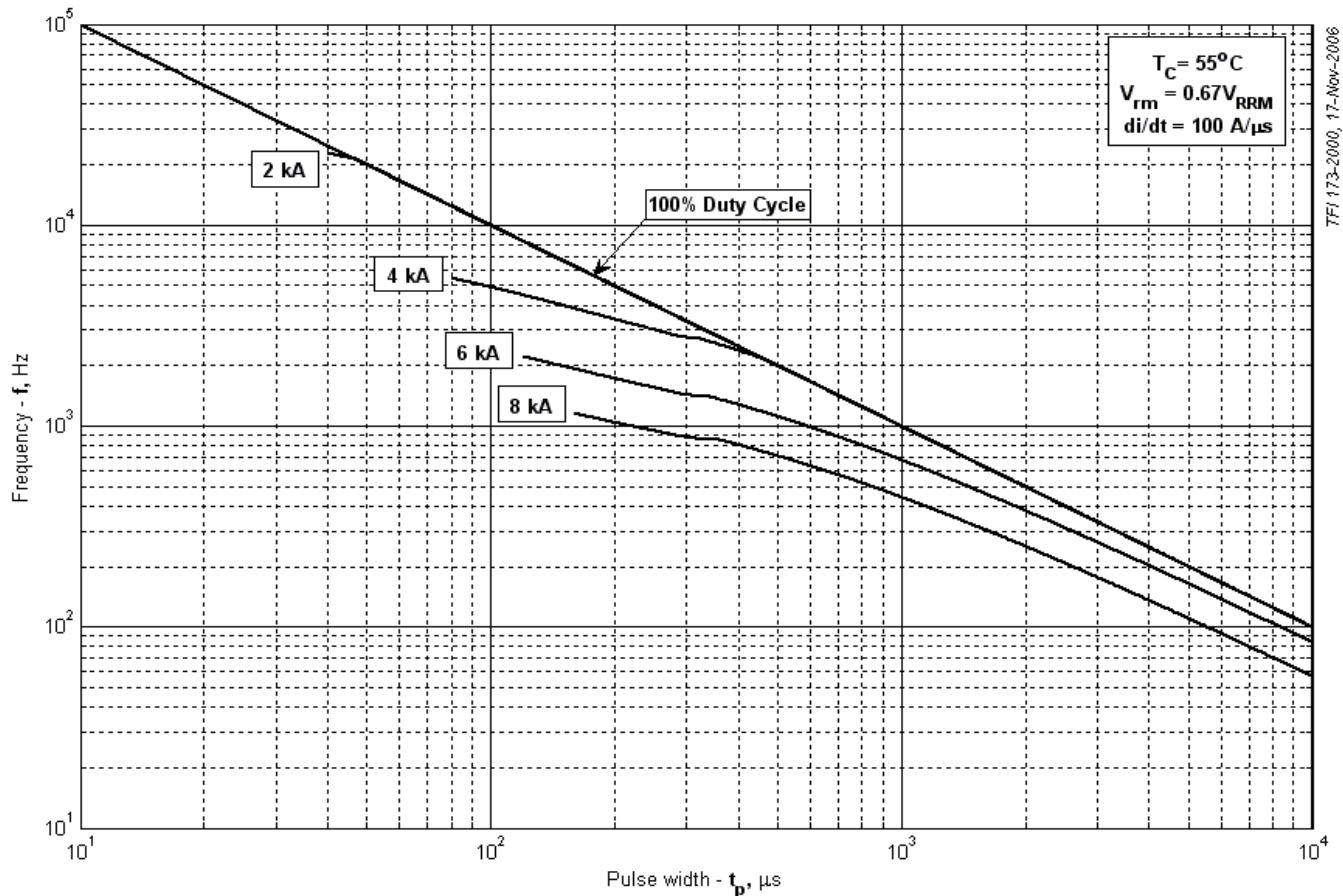


Рис. 22 – Зависимость частоты прямоугольных импульсов тока от длительности импульсов

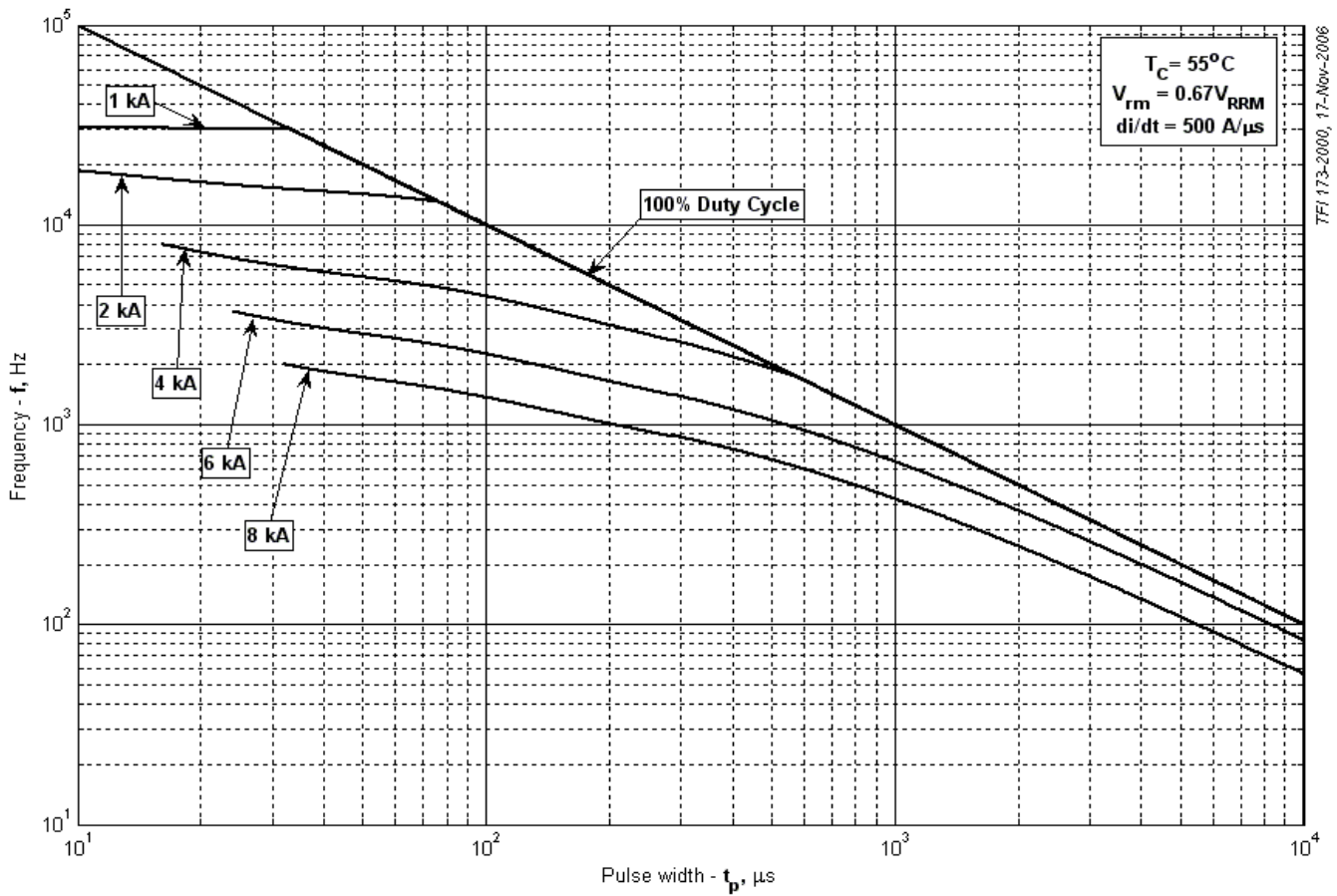


Рис. 23 – Зависимость частоты прямоугольных импульсов тока от длительности импульсов

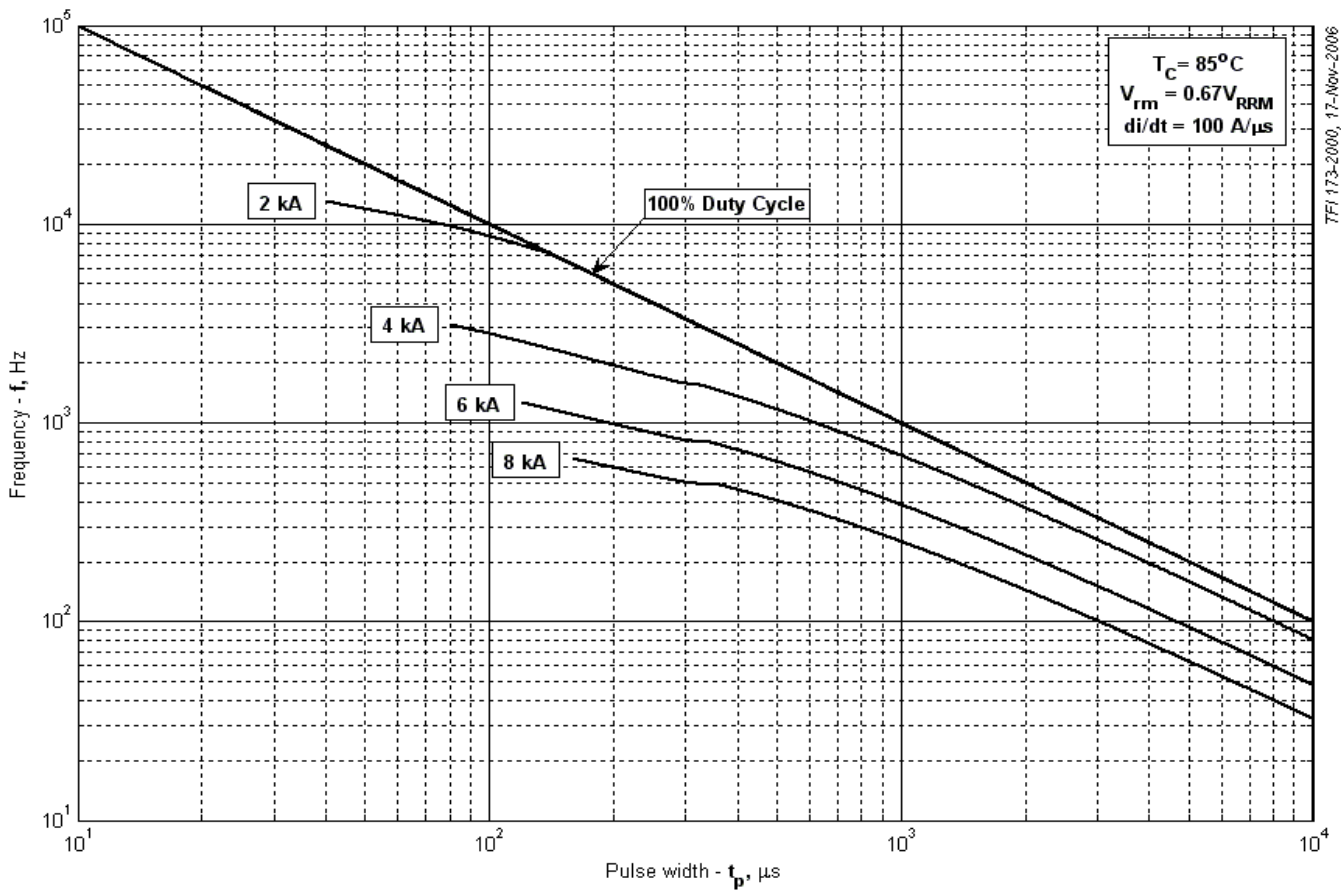


Рис. 24 – Зависимость частоты прямоугольных импульсов тока от длительности импульсов

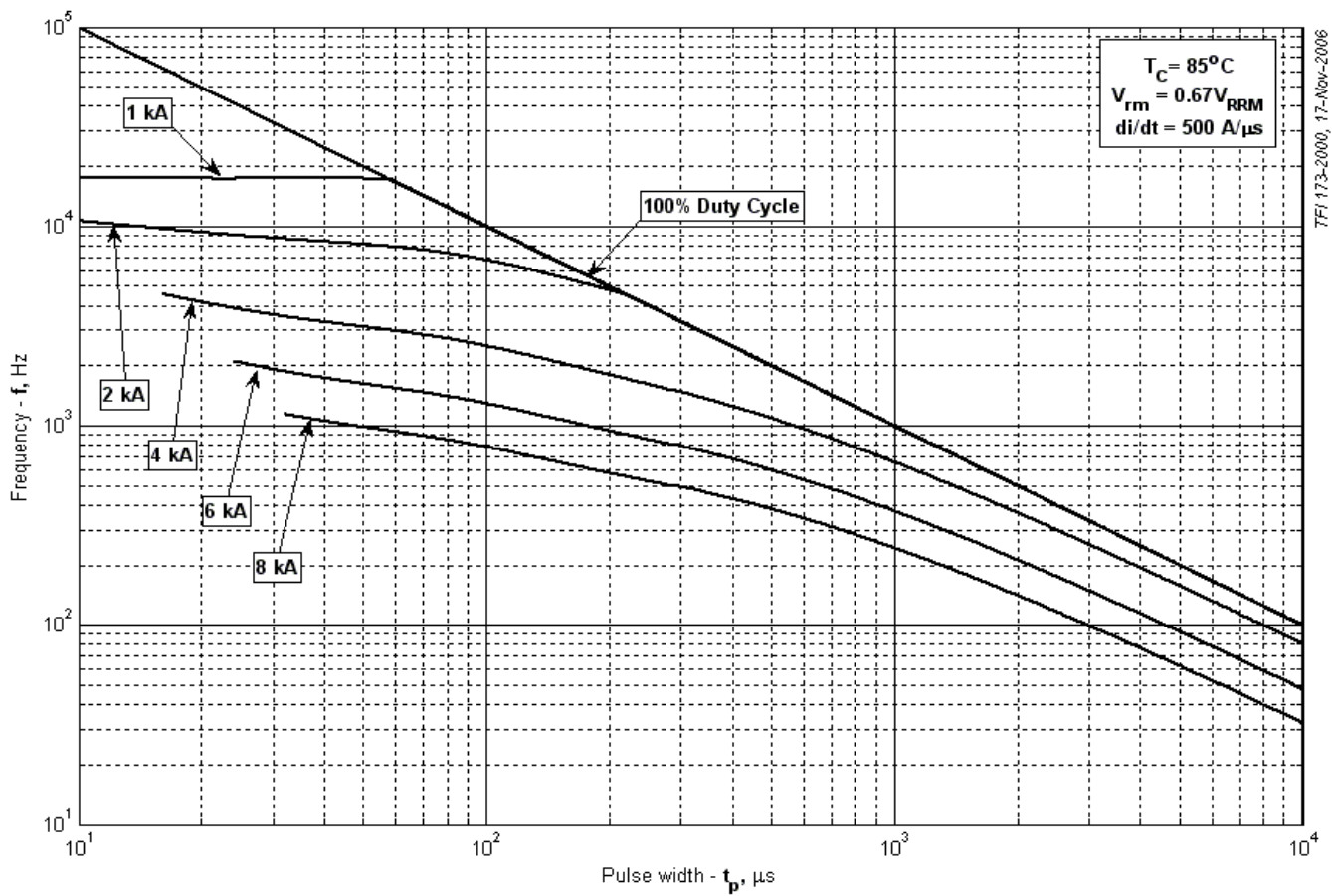


Рис. 25 – Зависимость частоты прямоугольных импульсов тока от длительности импульсов

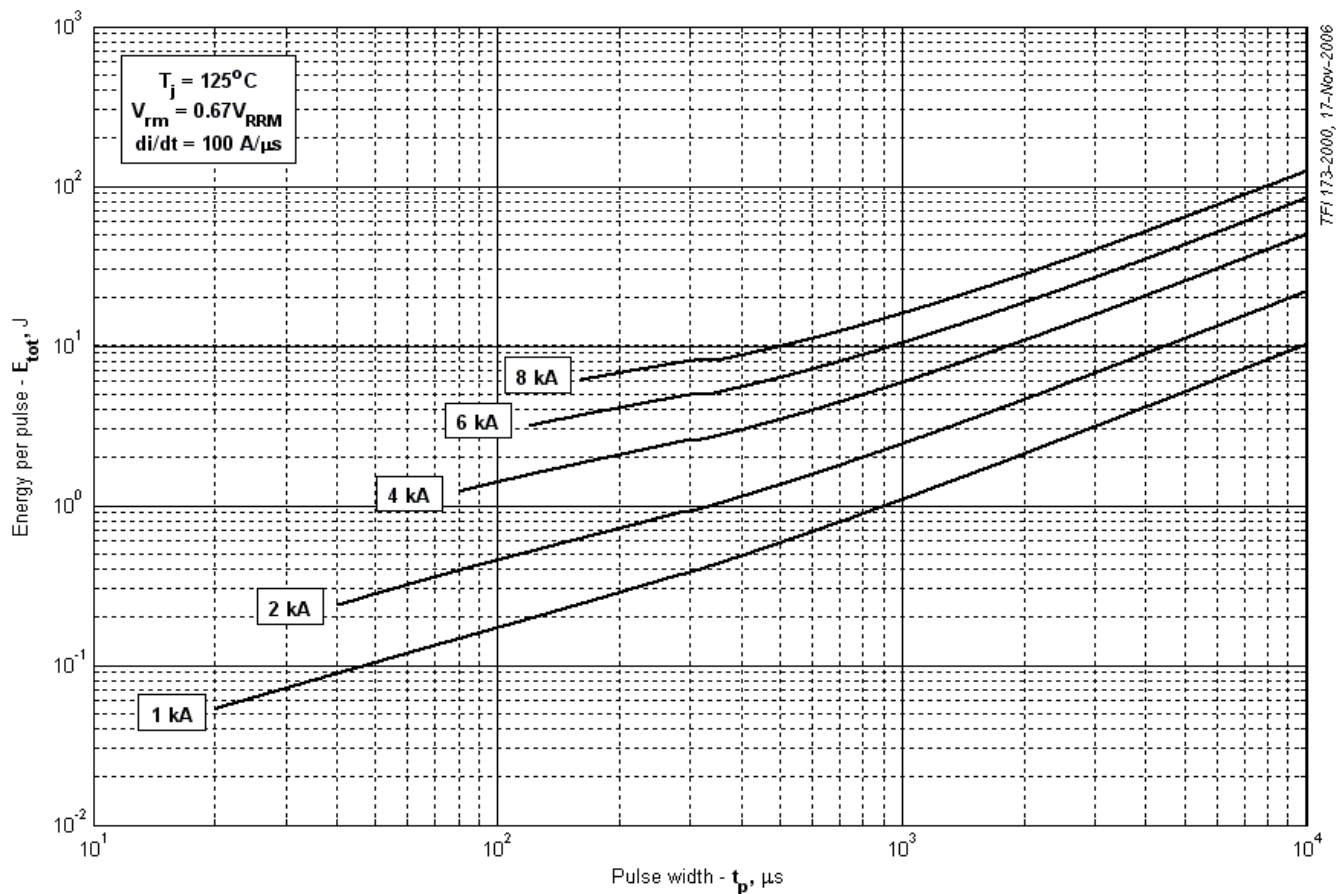


Рис. 26 – Суммарная энергия потерь одного прямоугольного импульса тока

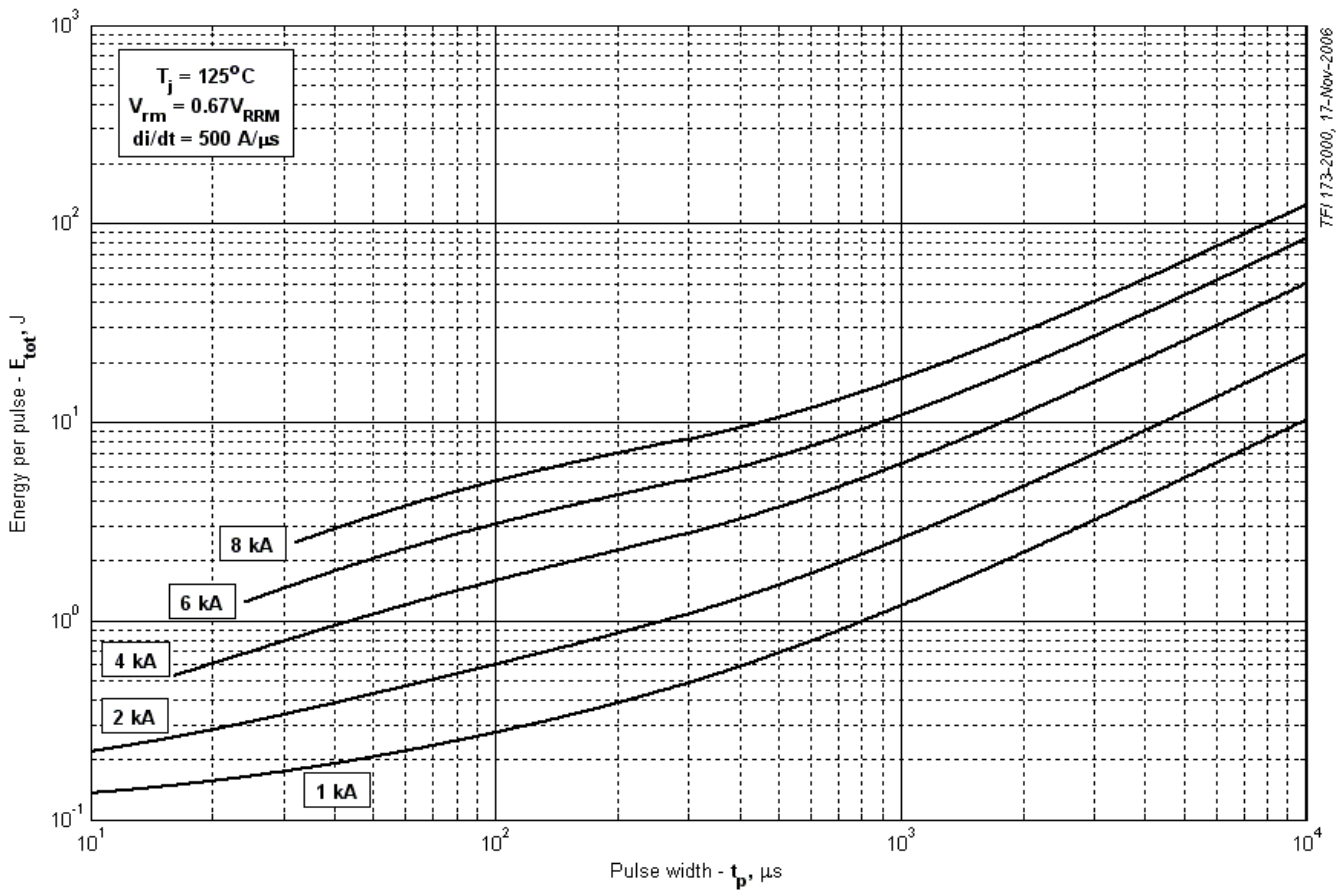


Рис. 27 – Суммарная энергия потерь одного прямоугольного импульса тока

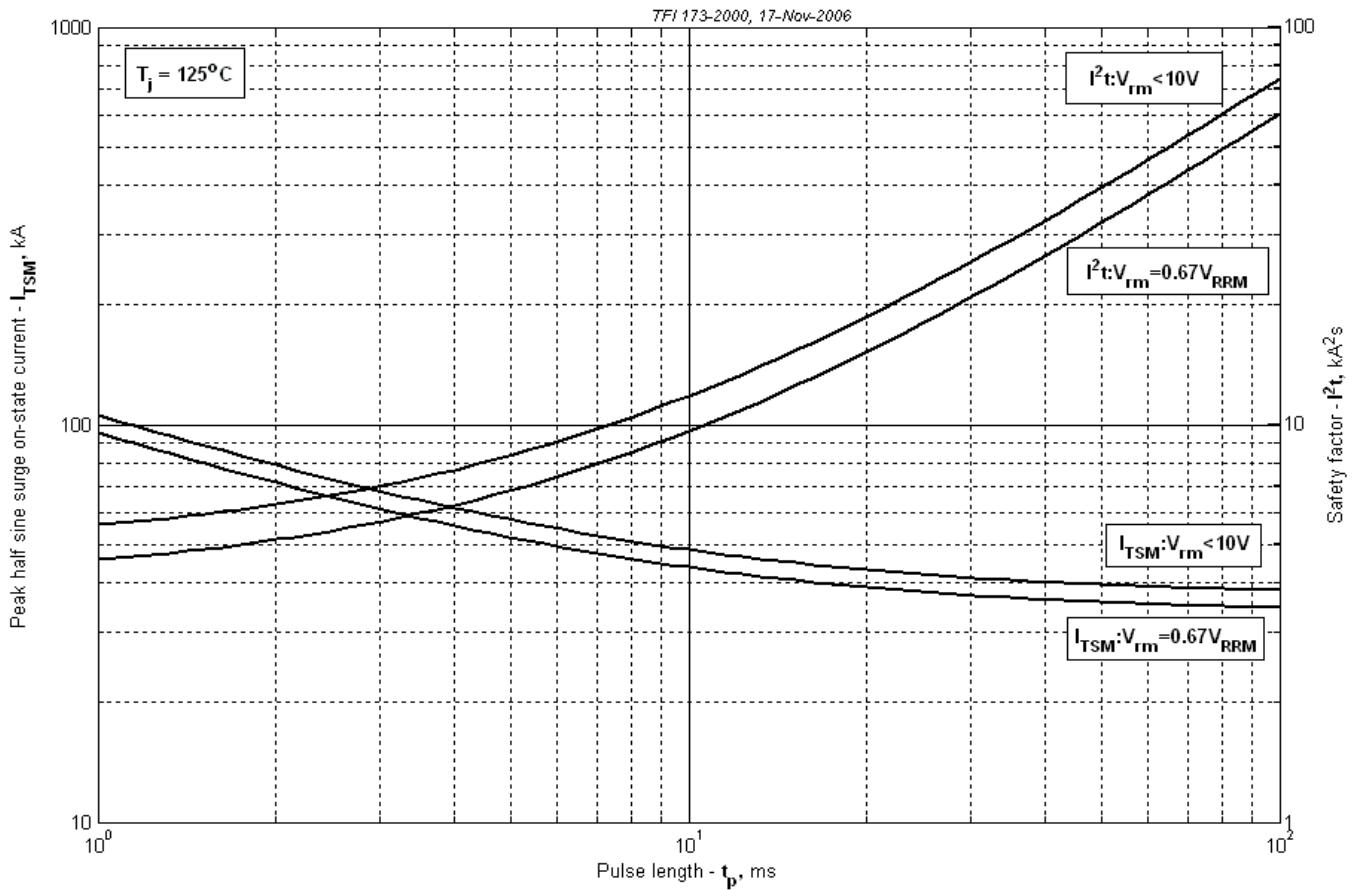
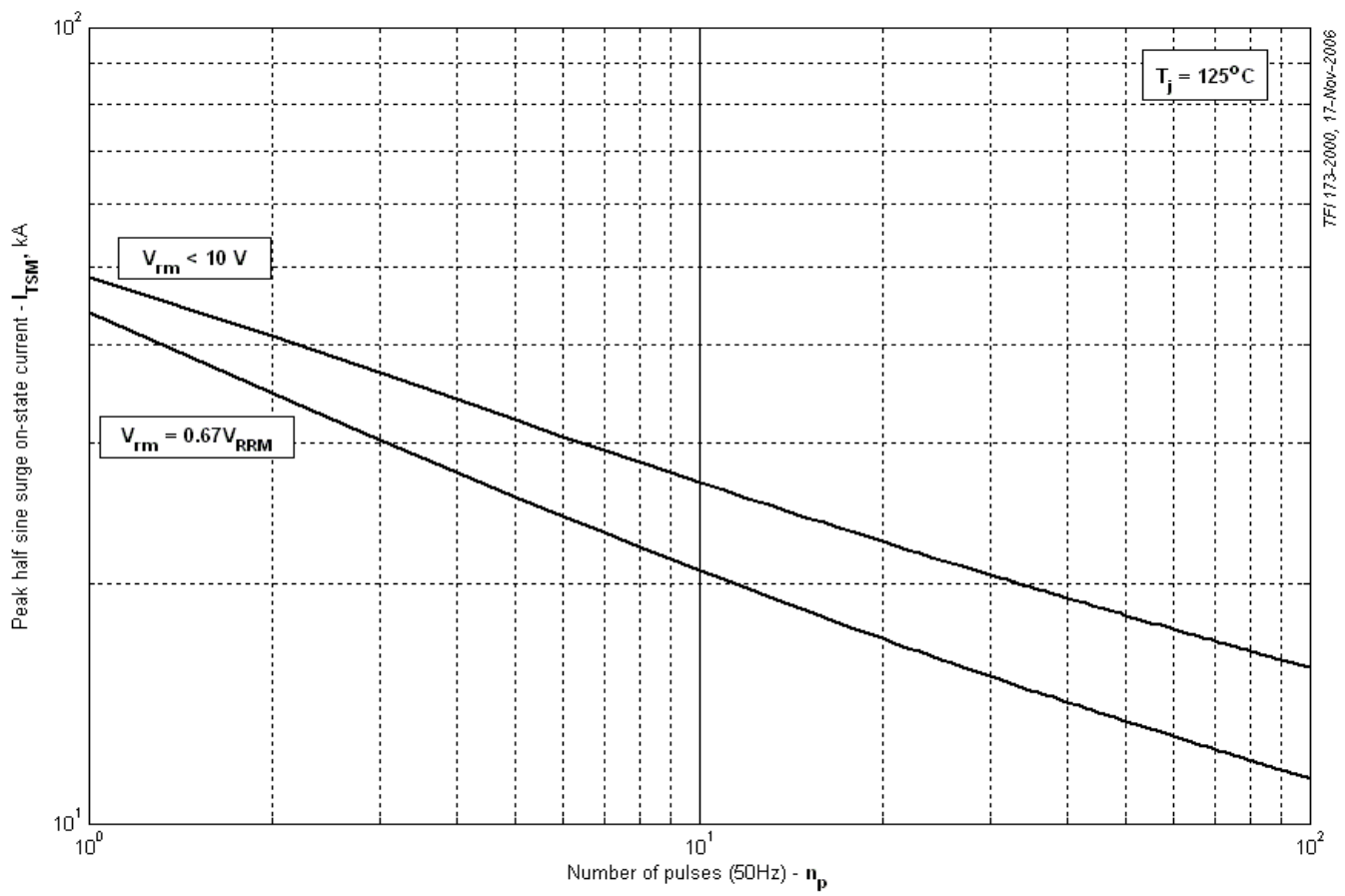


Рис. 28 – Максимальные ударные и I^2t характеристики



TFI 173-2000, 17-Nov-2006

Рис. 29 – Зависимость допустимой амплитуды ударного тока от числа импульсов